



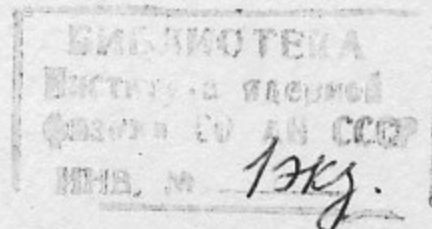
R.12

ИНСТИТУТ ЯДЕРНОЙ ФИЗИКИ СО АН СССР

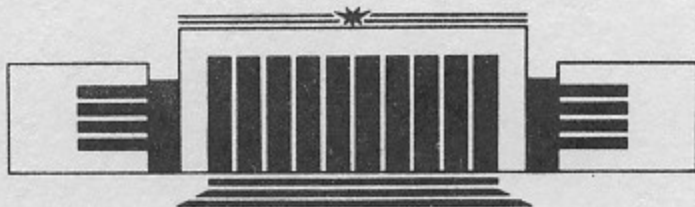
1989

В.А. Кабанник

ВАРИАНТ ЯДЕРНОГО РЕЗОНАНСНОГО
ФИЛЬТРА ДЛЯ МЕССБАУЭРОВСКОЙ
ДИФРАКЦИИ С ИСПОЛЬЗОВАНИЕМ
СИНХРОТРОННОГО ИЗЛУЧЕНИЯ



ПРЕПРИНТ 89-158



НОВОСИБИРСК

А Н Н О Т А Ц И Я

В работе приводится расчет коэффициентов отражения гамма-квантов от многослойных зеркал, содержащих мессбауэровские изотопы: Fe^{57} , Ge^{73} , Sr^{119} , Sm^{149} , Eu^{151} , Dy^{161} , Tm^{169} , Ta^{181} , Fe^{56} . Многослойные зеркала с чередующимися слоями: $\text{Fe}^{57}-\text{Fe}^{56}$, $\text{Ge}^{73}-\text{Ge}^{72}$, $\text{Sr}^{119}-\text{Sr}^{118}$, $\text{Sm}^{149}-\text{Sm}^{150}$, $\text{Eu}^{151}-\text{Eu}^{153}$, $\text{Dy}^{161}-\text{Dy}^{162}$, $\text{Tm}^{169}-\text{Tm}^{168}$, $\text{Ta}^{181}-\text{Ta}^{180}$ имеют коэффициент ядерного отражения $K_{\text{ядр}} \sim 0,4 \div 0,002$, электронное отражение на брэгговских углах $K_{\text{элек}} \sim 10^{-4}$. Электронное отражение многослойных зеркал с "просветлением" антиотражающими покрытиями $K_{\text{прос}} \sim 10^{-6}$. Энергетический диапазон в котором отражают многослойные зеркала $\Delta E \sim 10\Gamma \div 1,2\Gamma$ (Γ - ширина ядерного уровня). Приемный угол многослойных зеркал $\Delta\theta \approx 200'' \div 20''$.

Высокие параметры многослойных зеркал хорошо подходят для ядерной фильтрации СИ на различных мессбауэровских изотопах.

В В Е Д Е Н И Е

В работе [1] предлагалось проводить резонансную "ядерную" фильтрацию СИ с помощью полного внешнего отражения на тонких пленках, содержащих мессбауэровский изотоп и на брэгговском отражении от тонких кристаллических пленок. Предполагалось так же, что кристаллографические отражающие плоскости в кристаллической пленке выбраны так, что "электронное" отражение запрещено, а "ядерное" разрешено. Работы [2], [7], [8], [9], [10] подтверждают экспериментально это предположение. В [3], [4], [5], [6] показана возможность резонансной ядерной фильтрации СИ с помощью полного внешнего отражения на зеркале, содержащем мессбауэровский изотоп и покрытом антиотражающей пленкой для "электронного" внешнего отражения на зеркале. В [3], [5], [18], [19], [20], [30] приведены формулы для вычисления "ядерных" коэффициентов отражения от многослойных зеркал. В [5] приводятся коэффициенты отражения для многослойных зеркал $\text{Fe}^{57}-\text{Fe}^{56}$ ($K_{\text{ядр}} \sim 0,4$; $d = 20\text{\AA}$; $d_{\text{Fe}^{57}} = 10\text{\AA}$; $\Delta E = 4\Gamma$; $K_{\text{элек}} = 6 \cdot 10^{-5}$).

В этой работе предлагается проводить "резонансную" "ядерную" фильтрацию СИ, для мессбауэровских изотопов $E_g \leq 25,65\text{keV}$, с помощью многослойных зеркал в которых чередуются слои $\text{Fe}^{57}-\text{Fe}^{56}$, $\text{Ge}^{73}-\text{Ge}^{72}$, $\text{Sr}^{119}-\text{Sr}^{118}$, $\text{Sm}^{149}-\text{Sm}^{150}$, $\text{Eu}^{151}-\text{Eu}^{153}$, $\text{Dy}^{161}-\text{Dy}^{162}$, $\text{Tm}^{169}-\text{Tm}^{168}$, $\text{Ta}^{181}-\text{Ta}^{180}$. Приводится конкретный расчет, коэффициенты ядерного отражения, энергетический диапазон, коэффициенты "электронного" отражения на брэгговских углах мессбауэровских гамма-квантов на многослойных зеркалах, с антиотражающими покрытиями и без них.

Мессбауэровские изотопы

Мессбауэровские изотопы с большими энергиями переходов требуют источников СИ – накопителей с большими энергиями электронов, однодиодоров с маленькими периодами и так же маленьких углов отражения для многослойных зеркал. Из [28] известно, что существует восемь стабильных мессбауэровских изотопов с энергией перехода $E_{\gamma} \leq 25,65 \text{ кэВ}$. Кроме Ge_{32}^{78} они все металлы. При комнатной температуре $T = 300^{\circ}\text{K}$ согласно [2], [21], [22], [23], [24], [25], [26], [27], [28], [29] они имеют параметры, показанные в таблице I. Известно [31], что расщепление мессбауэровской линии зависит от:

$$E_I = n_o \cdot n_n \cdot H \cdot m_I + (-1)^{|m_I| + \frac{1}{2}} \cdot \frac{e \cdot g \cdot Q}{4}$$

для g – градиента электрического поля (ГЭП) на ядре параллельном H – магнитному полю на ядре. Где: E_I – величина расщепления n_o – гиромагнитное отношение; n_n – ядерный магнетон; H – напряженность магнитного поля; m_I – проекция магнитного момента на $\vec{z} \parallel \vec{H}$; e – заряд электрона; g – градиент электрического поля; Q – проекция квадрупольного момента на ось $\vec{z} \parallel \vec{H}$.

В кубических ячейках кристаллов $\text{Fe}-\text{K1}, \text{Ge}-\text{K4}, \text{Sn}-\text{K4}, \text{Eu}-\text{K1}, \text{Ta}-\text{K1}$ и в гексагональном $\text{Sm}-\text{H1}$ градиент электрического поля равен нулю и квадрупольное расщепление отсутствует. Магнитное поле $H = 0$ на ядрах в металлах: $\delta_n, \delta_m, \text{Eu}, \text{Dy}, \text{Ta}$ и в кристалле Ge при $T = 300^{\circ}\text{K}$, поэтому при $T = 300^{\circ}\text{K}$ все эти элементы кроме Fe и δ_m имеют нерасщепленную мессбауэровскую линию. При расчетах не будем учитывать изомерный сдвиг и уширение мессбауэровской линии из-за неоднородностей, связанных с примесями и дефектами структуры. (Интегральная интенсивность отражения не зависит от уширения). Будем считать, что содержание

мессбауэровского изотопа в слое $\rho \sim 100\%$ и многослойное зеркало не имеет разброса по толщине в слое. Учитывая эти особенности мы рассмотрим многослойные зеркала из чистых мессбауэровских элементов при комнатной температуре. (Окислы и другие соединения с мессбауэровскими элементами имеют во много раз больше фактор Лемба-Мессбауэра, чем для чистых мессбауэровских элементов при комнатной температуре. Даже при $T \sim 100^{\circ}\text{K}$ для чистых элементов фактор Лемба-Мессбауэра значительно больше, чем при $T \sim 300^{\circ}\text{K}$). Если рассматривать другие варианты, то можно иметь лучшие параметры многослойных зеркал!

"Электронное" отражение от многослойных зеркал

Для расчета коэффициента отражения плоской волны гамма-квантов от многослойного зеркала, состоящего из чередующихся слоев разных материалов в зависимости от угла скольжения, возьмем рекуррентную формулу (I) из работы [12] :

$$R_{j,j+1} = \alpha_j^4 \frac{R_{j+1,j+2} + F_{j,j+1}}{R_{j+1,j+2} \cdot F_{j,j+1} + 1} \quad (I)$$

где $\alpha_j = e^{-i \frac{\pi}{\lambda} g_j d_j}$ $R_{j,j+1} = \alpha_j^2 \cdot F_{j,j+1}$

Для σ поляризованных гамма-квантов коэффициенты Френеля:

$$F_{j,j+1} = \frac{g_j - g_{j+1}}{g_j + g_{j+1}}$$

Для Π поляризованных гамма-квантов коэффициенты Френеля:

$$F_{j,j+1} = \frac{g_j/n_j^2 - g_{j+1}/n_{j+1}^2}{g_j/n_j^2 + g_{j+1}/n_{j+1}^2}$$

где d_j – толщина j -го слоя;

$$g_j = (n_j^2 - \cos^2 \theta)^{\frac{1}{2}}$$

$$n_j = 1 - \delta_j - i\beta_j \quad (2)$$

- показатель преломления вещества в j -ом слое многослойного зеркала для данной энергии гамма-квантов. θ - угол скольжения под которым плоская волна гамма-квантов падает на многослойное зеркало.

Учитывая граничные условия для R_n, R_1 и g_1, g_n , из (1) получается коэффициент отражения для многослойного зеркала:

$$(3) \quad \frac{I(\theta)}{I_0} = (R_{1,2})^2$$

$$(4) \quad \delta_j + i\beta_j = \frac{N_j \lambda^2}{2\pi} (\mathcal{F}_{e,j}(0) + \mathcal{F}_{g,j}(0)) \quad [2]$$

Амплитуда рассеяния гамма-квантов на атоме: (5)

$$(5) \quad \mathcal{F}_e = (\chi + \Delta \mathcal{F}) r_e + i \frac{\mathcal{J}}{2N\lambda} \quad [14]$$

N - число атомов в 1 см³; χ - атомный номер вещества;
 $\Delta \mathcal{F}$ - аномальная атомная амплитуда рассеяния; \mathcal{J} - линейный коэффициент поглощения гамма-квантов на атомах в веществе;

r_e - классический радиус электрона; λ - длина волны гамма-кванта.

Если энергия гамма-квантов падающих на многослойное зеркало расположена достаточно далеко от ядерного уровня или в веществах, составляющих многослойное зеркало отсутствует мессбауэровский изотоп, то $\mathcal{F}_e = 0$.

Подставляя (5), (4) в (3) получим для этого случая кривые качания многослойного зеркала различных пар веществ: $Fe - Au$, $Be - Au$, $Sn - Au$, $Tm - Au$, $Eu - Au$, $Dy - Au$, $Tm - Au$, $Ta - Au$, $Fe - C$, $Be - C$, $Sn - C$, $Tm - C$, $Eu - C$, $Dy - C$, $Tm - C$, $Ta - C$ для мессбауэровских энергий гамма-квантов приведены на рис. I-8.

Из рисунков видно, что такие многослойные зеркала обладают высоким коэффициентом отражения при достаточно большом брэгговском угле скольжения $\theta_s \sim 1^\circ$ в этом диапазоне энергий. После изготовления многослойных зеркал и их проверки следует перейти на изготовление многослойных зеркал с парами: $Fe^{56} - Fe^{57}$, $Ge^{72} - Ge^{73}$, $Sn^{118} - Sn^{119}$, $Tm^{150} - Tm^{149}$, $Eu^{153} - Eu^{151}$, $Dy^{162} - Dy^{161}$, $Tm^{168} - Tm^{169}$, $Ta^{180} - Ta^{181}$.

"Просветление" - антиотражающие покрытия.

Если в (3) подставить слои $Fe^{56} - Fe^{56}$, $Ge^{72} - Ge^{72}$, $Sn^{118} - Sn^{118}$, $Tm^{150} - Tm^{150}$, $Eu^{153} - Eu^{153}$, $Dy^{162} - Dy^{162}$, $Tm^{168} - Tm^{168}$, $Ta^{180} - Ta^{180}$, то мы получим кривые качания полного внешнего "электронного" отражения на зеркале рис. 9 - I6 - а. На брэгговских углах "электронное" отражение составит $K_{элект} \sim 10^{-4}$. Для уменьшения $K_{элект}$ необходимо сделать на многослойных зеркалах антиотражающие покрытия [3], [4]. Сначала слой тяжелого элемента Fe или Ni , а потом слой Al и сверху слой C . На рис. 9 - I6 - б показаны кривые качания электронного отражения многослойных зеркал с антиотражающими покрытиями. $K_{электр.}$ - на брэгговских углах для многослойных зеркал с антиотражающим покрытием уменьшается на несколько порядков. $K_{пр} \sim 10^{-6}$. Точность напыления антиотражающих покрытий $\Delta t = \pm 0,5 \text{ \AA}$.

Амплитуда когерентного рассеяния на и коэффициенты отражения от многослойных зеркал

Амплитуда рассеяния гамма-квантов на ядре (магнитный dipольный переход) для фотонов с круговой поляризацией приведена в [10], [30].

$$(6) \quad f_{mm'} = \sum_{m_0, m_1} \frac{3}{2} D_{mm'}^{(1)*}(K_f, \hat{z}) D_{mm'}^{(1)}(K_o, \hat{z}) C^2(j_0, j_1; m_0, m_1) \\ \times \frac{\Gamma_i \cdot e^{-K_o^2 \langle x^2 \rangle}}{2 K_o [E_{K_o} - E_R(m_0, m_0 + m_1) + i \frac{\Gamma}{2}]}$$

где $f_{mm'} = e^{-K_o^2 \langle x^2 \rangle}$ - вероятность эффекта Мессбауэра;
 m - круговая поляризация налетающих фотонов; m' - круговая поляризация рассеянных фотонов; K_o , K_f - волновой вектор начального и рассеянного гамма-кванта на ядре.; \hat{z} - единичный вектор в направлении наложенного внешнего магнитного поля;
 $D_{mm'}^{(1)}(K_f, \hat{z})$ - тензор конечных вращений [13];
 j_0, j_1 - момент ядра в основном и возбужденном состоянии;
 Γ - ширина ядерного уровня; Γ_i - полная ширина ядерного уровня с учетом конверсионных электронов; E_{K_o}, E_R - энергия основного и возбужденного состояния ядра; $C(j_0, j_1; m_0, m_1)$ - коэффициенты Клебша [13]; m_0 - спин ядра в основном состоянии; $m = m_1 - m_0$ - разность проекций момента возбужденного и основного состояния ядра на ось \hat{z} .

Для расчета коэффициента отражения от "ядерных" многослойных зеркал $Fe^{56}-Fe^{57}$ нужна амплитуда ядерного когерентного рассеяния на нулевой угол δ поляризованных гамма-квантов, для магнитного поля параллельного плоскости рассеяния и плоскости зеркала.

Приведем матрицу (6) к диагональному виду, учитывая направление магнитного поля, поляризацию гамма-квантов и угол отражения получим:

$$(7) \quad f_{\alpha\beta\gamma} = \frac{1}{2} (f_{++} + f_{+-} + f_{-+} + f_{--})$$

где $f \pm I \pm I$ из (6)

Тензор конечных вращений:

$$(8) \quad D_{mm'}^{(1)}(\alpha, \beta, \gamma) = e^{im\alpha} d_{mm'}^{(1)}(\beta) e^{-im\alpha} \quad [13]$$

становится единичной матрицей.

α, β, γ - углы поворота в сферической системе координат.

$$(9) \quad f_{\alpha\beta\gamma} = A \sum_{m_0, m_1} \frac{C^2(j_0, j_1; m_0, m_1)}{[E_R(m_0, m_0 + m_1) - E_{K_o} - i \frac{\Gamma}{2}]} = A \sum \frac{C^2}{[x - \epsilon]}$$

$$\text{где } A = \frac{\Gamma_i \cdot e^{-K_o^2 \langle x^2 \rangle}}{2(2j_0 + 1) \Gamma K_o} = \frac{\delta_0 \cdot f_{mm'}}{2(j_1 + 1) \cdot \lambda}$$

$$\delta_0 = \frac{(2j_1 + 1) \lambda^2}{(2j_0 + 1)(1 + \alpha) 2\pi} \quad \text{- сечение ядерного поглощения в веществе}$$

$$x = \frac{2(E_R - E_{K_o})}{\Gamma}$$

Для вычисления коэффициента отражения от многослойного зеркала с чередующими слоями $Fe^{56}-Fe^{57}$ поляризованных гамма-квантов при угле скольжения $\theta_{\text{отр.}} = \theta_{\text{в}}$ в зависимости от энергии гамма-квантов $E_{K_o} = E_\gamma + \frac{c}{c} E_\gamma^\circ$ необходимо (5) и (9) подставить в (4) и (3) $E_\gamma^\circ = 14,4125 \text{ кэВ}$, c - скорость света, V - скорость движения вибратора в (мм/с).

В таблице 2 для многослойных зеркал $Fe^{56}-Fe^{57}$, а на рис. I7 и в таблице 3 для многослойных зеркал $Fe^{56}-Fe^{57}$ с антиотражающим покрытием показаны: вычисленные коэффициенты отражения, энергетический и угловой диапазон для плоской волны гамма-квантов с поляризацией δ в зависимости от энергии гамма-квантов $E_\gamma = E_\gamma^\circ + \frac{c}{c} E_\gamma^\circ$ и различного числа пар слоев. Период $d = 15 \text{ \AA}^0$, толщина Fe^{57} $d_1 = 5 \text{ \AA}^0$, толщина Al $T_{Fe} = 19 \text{ \AA}^0$, толщина C $T_C = 19 \text{ \AA}^0$. Магнитное поле направлено параллельно плоскости рассеяния гамма-квантов и параллельно плоскости многослойного зеркала.

Амплитуда когерентного рассеяния на $Ge^{73}, Sn^{113}, Sn^{119}$, $Eu^{161}, Dy^{161}, Tm^{169}, Ga^{181}$ и Fe^{57} в немагнитных материалах.

Магнитное поле на ядре отсутствует, когда атомы железа или

других мессбауэровских элементов находится в немагнитных материалах. Для Fe^{57} это "нержавейка", сплав AlFe , кристаллы KFeF_3 , FeGe , красная или желтая кровеная соль и т.д. Для Sn^{119} это металлическое олово, окись олова - касситерит и т.д.

Амплитуда когерентного рассеяния, для круговой поляризации гамма-квантов, на ядре на нулевой угол принимает вид [II], [30] :

$$(I0) \quad f_{mm'} = \frac{(2j_1+1)d_{mm'}(k_F k_0) \cdot \Gamma_i e^{-K_0^2 \langle x^2 \rangle}}{(2j_0+1) \cdot 4 K_0 [E_{K_0} - E_R + \frac{\epsilon \Gamma}{2}]} \quad \text{учитывая (7):}$$

$$(II) \quad f_{66} = \frac{A'}{\left[\frac{E_R - E_{K_0}}{\Gamma/2} - i \right]} = \frac{A'}{[x - i]}$$

$$\text{где } A = \frac{(2j_1+1) \cdot \Gamma_i \cdot e^{-K_0^2 \langle x^2 \rangle}}{(2j_0+1) \cdot 2 \cdot K_0 \cdot \Gamma} = \frac{6_0 \cdot f_{L-m}}{2 \cdot \lambda}$$

$$x = \frac{2(E_R - E_{K_0})}{\Gamma}$$

Для вычисления коэффициента отражения от многослойного зеркала с чередующими слоями $\text{Ge}^{72}-\text{Ge}^{73}$, $\text{Sn}^{118}-\text{Sn}^{119}$ и т.д. гамма-квантов падающих под углом скольжения $\theta_{\text{отр.}} = \theta_{\text{в}}$ в зависимости от энергии гамма-квантов $E_{K_0} = E_\gamma^\circ + \frac{v}{c} E_\gamma^\circ$ необходимо (5), (II) подставить в (4), (3).

В таблице 2 для многослойных зеркал, а на рис. 18 - 24 и в таблице 3 для многослойных зеркал с антиотражающим покрытием показаны: вычисленные коэффициенты отражения, энергетический и угловой диапазон для плоской волны гамма-квантов с поляризацией

в зависимости от энергии гамма-квантов $E_\gamma = E_\gamma^\circ + \frac{v}{c} E_\gamma^\circ$ и различного числа пар слоев.

В таблице 3 приведены: I_M - интенсивности в фокусе фокусирующего монохроматора после поворотного магнита в накопителе ($E_{e^-} = 2,2 \text{ ГэВ}$, $H_M = 20 \text{ кГс}$, $\ell = 910 \text{ см}$, $I_{e^-} = 1 \text{ ма}$, $\frac{\Delta\lambda}{\lambda} \sim 1$) [16]. Если не учитывать приемные углы, то:

$I_M \cdot K^2 \cdot \frac{\Delta E}{E}$ - интенсивность фокусирующего монохроматора после двух "ядерных" отражений от многослойных зеркал с антиотражающим покрытием. $I_M \cdot 10^{-4} \cdot \Phi^2$ - интенсивность фокусирующего монохроматора, после двух "электронных" отражений от многослойных зеркал с антиотражающим покрытием. I_0 - интенсивности из специализированных ондуляторов на накопителе ($E_{e^-} = 6 \text{ ГэВ}$, $I_{e^-} = 1 \text{ ма}$,

$\frac{\Delta\lambda}{\lambda} \sim 1$) [16]. $I_0 \cdot K^2 \cdot \frac{\Delta E}{E}$ - интенсивность из специализированных ондуляторов после двух "ядерных" отражений от многослойных зеркал с антиотражающим покрытием. $I_0 \cdot 10^{-4} \cdot \Phi^2$ - интенсивность из специализированных ондуляторов после двух "электронных" отражений от многослойных зеркал с антиотражающим покрытием.

ВЫВОДЫ

Цель этой работы рассмотреть качественно возможность осуществления мессбауэровской дифракции на СИ изотопов с $E_\gamma \leq 25,65 \text{ кэВ}$. Конечно, каждый мессбауэровский элемент будет требовать большой и тщательной работы по оптимизации рентгеновской и ядерной оптики на СИ. Из таблицы 3 и [16] видно, что уже просто из фокусирующего монохроматора, поставленного на накопитель после поворотного магнита ($E_{e^-} = 2,2 \text{ ГэВ}$, $H_M = 20 \text{ кГс}$, $I_{e^-} = 1 \text{ ма}$) и двух отражений от "ядерных" многослойных зеркал с антиотражающим покрытием мы можем иметь достаточную скорость счета $I_0 \div 50 \text{ Гц}$, чтобы зарегистрировать энергетический дифракционный мессбауэровский спектр почти на всех рассмотренных изотопах. Скорость счета после двух "ядерных" отражений больше скорости счета после двух "электронных" отражений от многослойных зеркал с антиотражающим покрытием, на некоторых изотопах, даже на два порядка. Очевидно, что "электронный фон" в спектральном диапазоне уменьшится при измерении временной задержки гамма-квантов в "ядерном" многослойном зеркале [32]. Маленькие

ЛИТЕРАТУРА

размеры сфокусированного монохроматического пучка СИ:

$2\delta_x \approx 0,6 + 0,9$ мм, $2\delta_y \approx 2 + 4$ мм не потребуют больших размеров "ядерных" многослойных зеркал $\sim 40 \times 50$ мм².

Борьба за уменьшение "электронного фона" от многослойных зеркал потребует изготовление "ядерных" многослойных зеркал с малым периодом $a \sim 20$ Å и обязательное использование антиотражающих покрытий.

Использование специализированных ондуляторов увеличит интенсивность и при добавлении еще "ядерных" отражений уменьшит фон, но это потребует привязать работу накопителя к этой работе более жестко.

Из изложенного выше можно заключить, что многослойные зеркала с чередующими слоями из одного элемента, мессбауэровского и не мессбауэровского изотопа имеют преимущества по сравнению с "ядерными" кристаллами - высокий коэффициент отражения и большой приемный угол (акцептанс). Появляется также большая возможность, почти без изменения интенсивности полезных квантов и увеличения фона, перейти на другие мессбауэровские изотопы и тем самым открыть постановку экспериментов с другими элементами по мессбауэровской дифракции на СИ.

В этой работе не рассматривались временные задержки при дифракции гамма-квантов на "ядерных" резонансных фильтрах. Измерение времени открывает еще более широкий класс экспериментов по мессбауэровской дифракции на СИ. Процессы, которые происходят в таких резонансных фильтрах во времени, будут рассмотрены позже.

Автор выражает благодарность Скринскому А.Н., Кулипанову Г.Н. за поддержку и внимание к этой работе.

1. У.Ф.Н. т. I22 вып. 3 стр. 369-418, 1977, Г.Н.Кулипанов, А.Н.Скринский.

2. Physical Review v.132, № 4, P. 1625-1633, 1963
S.Bernstein and E.C.Campbell.

3. Physical Review B v.32 № 8 P. 5068-5080, 1985
J.P.Hannon, N.V.Hung, G.T.Trammel, E.Gerdau, M.Mueller, R.Ruffer, H.Winkler.

4. Physical Review B v.32 № 8 P. 5081-5092, 1985
J.P.Hannon, N.V.Hung, G.T.Trammell, E.Gerdau, M.Muller, R.Ruffer, H.Winkler.

5. Physical Review B v.32 № 10 P. 6363-6373, 1985
J.P.Hannon, G.T.Trammell, M.Mueller, E.Gerdau, R.Ruffer, H.Winkler.

6. Physical Review B v.32 № 10 P. 6374-6384, 1985
J.P.Hannon, G.T.Trammell, M.Mueller, E.Gerdau, R.Ruffer, H.Winkler.

7. Nuclear Instruments and Methods v.152
P. 235, 1978, A.N.Artemev, V.A.Kabannik, G.N.Kulipanov, E.A.Meleshko, V.V.Sklyarevskiy, A.N.Skrinsky, E.P.Stepanov, V.E.Khlestov, A.I.Chechin.

8. Physical Review Letters v.54, № 8, P. 835-838,
1985 E.Gerdau, R.Ruffer, H.Winkler, W.Tolksdorf, C.P.Klages, J.P.Hannon.

9. Physical Review Letters v.57 № 9 P. II4I-II44,
1986 E.Gerdau, R.Ruffer, R.Hollatz, J.P.Hannon

10. SSRP P. 66, 1986, D.P.Siddons, J.B.Hastings, G.Faigel

II. Physical Review v.126, № 3, 1962, P. I045-I054
G.T.Trammell

- I3. Квантовая механика. Л.Д.Ландау, Е.М.Лифшиц. М. 1974,
стр. 253-258.
- I4. Физика рентгеновских лучей. М.А.Блохин. М., 1957.
- I5. Теория поля. Л.Д.Ландау, Е.М.Лифшиц. М., 1967.
- I6. "Вариант фокусирующего монохроматора для экспериментов
по возбуждению ядерных уровней изотопов с использованием синхро-
тронного излучения". В.А.Кабаник.
- I7. Рентгеновская оптика и микроскопия под ред. Г.Шмая и
Д.Рудольфа. М., 1987.
- I8. Мессбауэровская гамма-оптика. М.А.Андреева, Р.Н.Кузьмин.
М., Изд-во МГУ, 1982.
- I9. Поверхность. Физика, химия, механика. № 4, стр.5, 1985.
М.А.Андреева, С.Ф.Борисова, С.А.Степанов.
- I0. Известия Академии наук СССР серия физическая т.50, № I2,
стр. 2378 - 2385, 1986. М.А.Андреева, С.Ф.Борисова.
- I1. Physical Review Letters v.12, N 10, P.512-514. 1974.
R.S.Raghavan and Loren Pfeiffer.
- I2. ЖЭТФ, 46, стр.1960, 1964. В.Г.Шапиро, В.С.Шпинель.
- I3. Phys. Rev. 137, A627-A638, 1965
S.Ofer, E.Segal, I.Nowik, E.R.Bauminger, L.Grodzins, A.J.Freemen,
M.Schieber.
- I4. Physical Review 131, N 1, P.123-127, 1963
P.H.Barrett and D.A.Shirley.
- I5. Phys. Rev. v.138, A241-A246, 1965
S.Ofer, M.Rakavy, E.Segal and B.Khurgin.
- I6. Zeitschrift für Physik, B210, с.361-379, 1968
F.E.Wagner.
- I7. Phys. Rev. B v.8, N 5, P.1912-1923, 1973 G.Kaindl, D.Sa-
lomon, G.Wortmann.

- I8. Таблицы физических величин. Справочник под редакцией
И.К.Кикоина стр. 874 - 883. Москва - Атомиздат, 1976.
- I9. Химические применения мессбауэровской спектроскопии.
М., 1970 под редакцией В.И.Гольданского, Л.М.Кржановского,
В.В.Храпова.
- I0. Дифракционная оптика периодических сред сложной струк-
туры. В.А.Беляков, М., Наука, 1988.
- I1. Резонанс гамма-лучей в кристаллах. В.С.Шпинель, М.,
Наука, 1969
- I2. Быстрые детекторы для регистрации гамма-квантов в диа-
пазоне 6 - 20 кэв. В.А.Кабаник, В.И.Кузнецов, В.И.Фомин, пре-
принт ИЯФ, 1979.

Таблица I.

ПАРАМЕТРЫ МЕССБАУЭРОВСКИХ ЭЛЕМЕНТОВ ПРИ ТЕМПЕРАТУРЕ $T = 300^{\circ}\text{K}$, ИСПОЛЬЗУЕМЫХ В ДАННОЙ РАБОТЕ. ПОКАЗАТЕЛЬ ПРЕЛОМЛЕНИЯ В ВЕЩЕСТВЕ: $n = 1 - [\delta_e + i\beta_e + \frac{A'_M}{(x-\epsilon)}]$

$$A'_M = \frac{N \cdot \lambda^2 \cdot A'}{2\pi} = \frac{N \cdot \lambda^2 \cdot \delta_e \cdot f_{e-m}}{2\pi \cdot 2\lambda} \quad x = \frac{2(E_R - E_{K_0})}{\Gamma} \quad N - \text{количество атомов в см}^3$$

Мессб. изотоп	E_γ кэв	λ A°	Γ мм/с	Γ/E_γ	δ_e см^2	f_{e-m}	β_e	$\theta_e = \sqrt{2 \cdot \delta}$ в(град)	A'_M	
Fe_{57}	14,4125	0,86	0,09713	$3,23 \cdot 10^{-13}$	$2,38 \cdot 10^{-18}$	0,7619	$7,201 \cdot 10^{-6}$	$3,469 \cdot 10^{-7}$	0,2174	$1,056 \cdot 10^{-4}$
Ge_{73}	13,3	0,93	0,0035	$1,25 \cdot 10^{-14}$	$7,5 \cdot 10^{-21}$	0,8102	$5,505 \cdot 10^{-6}$	$5,143 \cdot 10^{-7}$	0,1901	$1,987 \cdot 10^{-7}$
Sn_{50}	23,875	0,519	0,311	$1,038 \cdot 10^{-12}$	$1,32 \cdot 10^{-18}$	0,0669	$2,075 \cdot 10^{-6}$	$4,066 \cdot 10^{-8}$	0,1167	$1,349 \cdot 10^{-6}$
Sm_{61}	22,0	0,56	0,818	$2,72 \cdot 10^{-12}$	$3,888 \cdot 10^{-19}$	0,173	$2,694 \cdot 10^{-6}$	$1,095 \cdot 10^{-7}$	0,1330	$9,288 \cdot 10^{-7}$
Eu_{63}	21,6	0,57	0,7195	$2,4 \cdot 10^{-12}$	$2,33 \cdot 10^{-19}$	0,197	$1,877 \cdot 10^{-6}$	$8,343 \cdot 10^{-8}$	0,1110	$4,362 \cdot 10^{-7}$
Dy_{66}	25,65	0,48	0,1858	$6,19 \cdot 10^{-13}$	$1,062 \cdot 10^{-18}$	0,134	$2,131 \cdot 10^{-6}$	$1,646 \cdot 10^{-7}$	0,1183	$1,744 \cdot 10^{-6}$
Tm_{69}	8,41	1,47	4,17	$1,39 \cdot 10^{-11}$	$2,122 \cdot 10^{-19}$	0,824	$2,169 \cdot 10^{-5}$	$1,396 \cdot 10^{-6}$	0,3774	$6,829 \cdot 10^{-6}$
Ta_{73}	6,25	1,98	0,00321	$1,073 \cdot 10^{-14}$	$1,702 \cdot 10^{-18}$	0,9916	$6,936 \cdot 10^{-5}$	$8,137 \cdot 10^{-6}$	0,6748	$1,425 \cdot 10^{-4}$

Таблица 2

КОЭФФИЦИЕНТЫ ОТРАЖЕНИЯ, ЭНЕРГЕТИЧЕСКИЙ И УГЛОВОЙ ДИАПАЗОН
МНОГОСЛОЙНЫХ ЗЕРКАЛ В ЗАВИСИМОСТИ ОТ N_p - ЧИСЛО ПАР СЛОЕВ
(d - период, d_M - толщина мессбауэровского изотопа)

Мессб. изотоп	E_γ кэв	d A°	d_M A°	$N_p = 30$ пар слоев $K_{\text{отр.}}$	$\Delta E/E$	$\Delta \theta$ (сек) $K_{\text{отр.}}$	$N_p = 60$ пар слоев $K_{\text{отр.}}$	$\Delta E/E$	$\Delta \theta$ (сек) $K_{\text{отр.}}$	$N_p = 100$ пар слоев $K_{\text{отр.}}$	$\Delta E/E$	$\Delta \theta$ (сек)
$\text{Fe}_{56}-\text{Fe}_{57}$	14,4125	15	50,136	$1,43 \cdot 10^{-12}$	102	0,243	$2 \cdot 10^{-12}$	62,1	0,304	$2,77 \cdot 10^{-12}$	50,4	
$\text{Ge}_{72}-\text{Ge}_{73}$	13,3	40	230,0019	$6,58 \cdot 10^{-14}$	51,5	0,003	$4,59 \cdot 10^{-14}$	42,0	0,0036	$3,96 \cdot 10^{-14}$	40,9	
$\text{Sn}_{50}-\text{Sn}_{50}$	23,875	18	70,021	$1,1 \cdot 10^{-12}$	47,3	0,055	$1,26 \cdot 10^{-12}$	25,1	0,095	$1,56 \cdot 10^{-12}$	16,7	
$\text{Sm}_{62}-\text{Sm}_{61}$	22,0	25	100,0078	$5,32 \cdot 10^{-12}$	37,3	0,021	$5,32 \cdot 10^{-12}$	20,1	0,036	$5,86 \cdot 10^{-12}$	13,3	
$\text{Eu}_{63}-\text{Eu}_{63}$	21,6	26	100,0069	$2,69 \cdot 10^{-12}$	38,5	0,02	$2,54 \cdot 10^{-12}$	22,3	0,036	$2,75 \cdot 10^{-12}$	17,1	
$\text{Dy}_{66}-\text{Dy}_{66}$	25,65	20	70,046	$7,73 \cdot 10^{-13}$	40,3	0,098	$9,45 \cdot 10^{-13}$	23,2	0,135	$1,24 \cdot 10^{-12}$	17,6	
$\text{Tm}_{69}-\text{Tm}_{69}$	8,41	26	100,024	$1,46 \cdot 10^{-11}$	108,7	0,048	$1,67 \cdot 10^{-11}$	74,8	0,063	$1,96 \cdot 10^{-11}$	69,2	
$\text{Ta}_{73}-\text{Ta}_{73}$	6,25	19	50,159	$1,95 \cdot 10^{-14}$	225	0,19	$2,77 \cdot 10^{-14}$	184	0,195	$3,29 \cdot 10^{-14}$	180	

Таблица 3

ПАРАМЕТРЫ МНОГОСЛОЙНЫХ ЗЕРКАЛ С

АНТИОТРАЖАЮЩИМ ПОКРЫТИЕМ

Мессбауэровский изотоп	E_γ (кэВ)	Период многозерк. в (A)	Толщина мессб. изотопа а (A)	Число периодов	Толщина N_2 или Te в (A^0)	Толщина M_2 в (A^0)	Толщина C в (A^0)	K	коэффициент ядерн. отраж.	коэффициент электр. отраж.	ΔE в Г
$\text{Fe}^{57}-\text{Fe}^{56}$	14,41	I5	5	I00	0	I9	I9	0,304	$2,18 \cdot 10^{-6}$	8,58	
$\text{Ge}^{73}-\text{Ge}^{72}$	I3,3	40	23	I00	0	II,4	II,4	$1,9 \cdot 10^{-3}$	$7,6 \cdot 10^{-9}$	I	
$\text{Sn}^{119}-\text{Sn}^{118}$	23,87	I8	7	I00	0	23	23	0,095	$7,14 \cdot 10^{-7}$	I,48	
$\text{Sm}^{149}-\text{Sm}^{150}$	22,0	25	I0	I00	6 Te	I2	24	0,036	$4,44 \cdot 10^{-7}$	2,I5	
$\text{Eu}^{151}-\text{Eu}^{153}$	2I,6	26	I0	I00	0	I9,7	I9,7	0,037	$I,22 \cdot 10^{-6}$	I,I	
$\text{Dy}^{161}-\text{Dy}^{162}$	25,65	20	7	I00	0	I5	I5	0,135	$4,7 \cdot 10^{-6}$	I,95	
$\text{Tm}^{169}-\text{Tm}^{168}$	8,41	26	I0	I00	6 Te	I2	24	0,064	$I,82 \cdot 10^{-6}$	I,39	
$\text{Ta}^{181}-\text{Ta}^{180}$	6,25	I9	5	I00	II,87 Te	23,75	47,5	0,202	$9,23 \cdot 10^{-7}$	2,96	

81

Таблица 3 а. Продолжение

ИНТЕНСИВНОСТИ И ФОН ОТРАЖЕННЫХ ГАММА-КВАНТОВ ОТ ДВУХ МНОГОСЛОЙНЫХ ЗЕРКАЛ С АНТИОТРАЖАЮЩИМ ПОКРЫТИЕМ, ПОСТАВЛЕННЫХ В ФОКУСЕ ФОКУСИРУЮЩЕГО МОНОХРОМАТОРА, ПОСЛЕ ПОВОРОТНОГО МАГНИТА В НАКОПИТЕЛЕ ($E_e = 2,2$ ГэВ, $I_M = 20$ кгс, $I_e = I$ ма) И ИЗ СПЕЦИАЛИЗИРОВАННЫХ ОНДУЛЯТОРОВ НА НАКОПИТЕЛЕ С $E_{e^-} = 6$ ГэВ, $I_{e^-} = I$ ма.

I_M – интенсивность фокусирующего монохроматора; I_o – интенсивность специализированного ондулятора

Мессб. изотоп	$\Delta E/E$	$\Delta \theta$ в (сек)	$I_M \cdot 10^{-4}$	$I_M \cdot K^2 \Delta E/E$	$I_M \cdot 10^{-4} \cdot \Phi^2$	$I_o \cdot 10^{-4}$	$I_o \cdot K^2 \Delta E/E$	$I_o \cdot 10^{-4} \cdot \Phi^2$
$\text{Fe}^{57}-\text{Fe}^{56}$	$2,77 \cdot 10^{-12}$	50,4	$1,95 \cdot 10^9$	5,0	$9,29 \cdot 10^{-3}$	$1,07 \cdot 10^{11}$	274	0,51
$\text{Ge}^{73}-\text{Ge}^{72}$	$1,25 \cdot 10^{-14}$	2I,0	$2,2 \cdot 10^9$	$9,5 \cdot 10^{-7} 1,3 \cdot 10^{-7}$	$9,7 \cdot 10^{10}$	$4,16 \cdot 10^{-5}$	$5,66 \cdot 10^{-6}$	
$\text{Sn}^{119}-\text{Sn}^{118}$	$1,54 \cdot 10^{-12}$	2I,9	$2,87 \cdot 10^8$	0,0398	$1,46 \cdot 10^{-4}$	$1,97 \cdot 10^{10}$	2,73	0,01
$\text{Sm}^{149}-\text{Sm}^{150}$	$5,84 \cdot 10^{-12}$	I3,I	$3,55 \cdot 10^8$	0,0272	$7,0 \cdot 10^{-5}$	$1,82 \cdot 10^{10}$	I,39	$3,59 \cdot 10^{-3}$
$\text{Eu}^{151}-\text{Eu}^{153}$	$2,64 \cdot 10^{-12}$	I6,9	$4,0 \cdot 10^8$	0,0141	$5,95 \cdot 10^{-4}$	$1,78 \cdot 10^{10}$	0,628	0,0265
$\text{Dy}^{161}-\text{Dy}^{162}$	$1,21 \cdot 10^{-12}$	2I,3	$2,17 \cdot 10^8$	0,0479	$4,79 \cdot 10^{-3}$	$2,12 \cdot 10^{10}$	4,68	0,468
$\text{Tm}^{169}-\text{Tm}^{168}$	$I,93 \cdot 10^{-11}$	44,2	$1,65 \cdot 10^9$	1,32	$5,46 \cdot 10^{-3}$	$5,79 \cdot 10^{10}$	46,3	0,I92
$\text{Ta}^{181}-\text{Ta}^{180}$	$3,17 \cdot 10^{-14}$	I42	$1,28 \cdot 10^9$	0,0166	$1,1 \cdot 10^{-3}$	$1,25 \cdot 10^{11}$	I,62	$0,107$

67

20

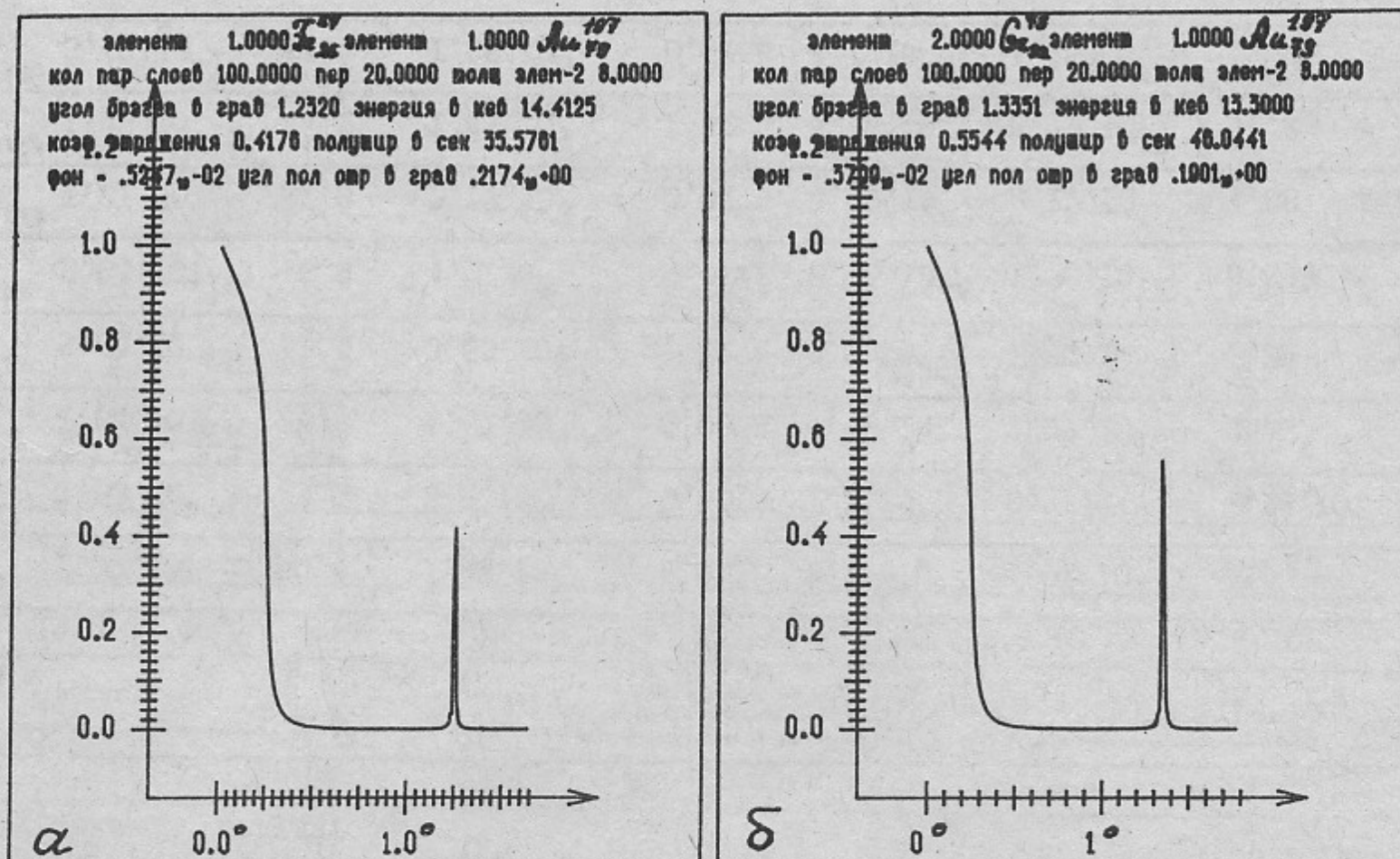


Рис. I. а) кривая качания для плоской волны гамма-квантов с $E_{\gamma} = 14,4125$ кэв, поляризацией δ отраженных от многослойного зеркала из 100 пар слоев толщина Fe - 12 A° , Au - 8 A° ; б) кривая качания для плоской волны гамма-квантов с $E_{\gamma} = 13,3$ кэв, поляризацией δ отраженных от многослойного зеркала из 100 пар слоев толщина Ge - 12 A° , Au - 8 A° .

21

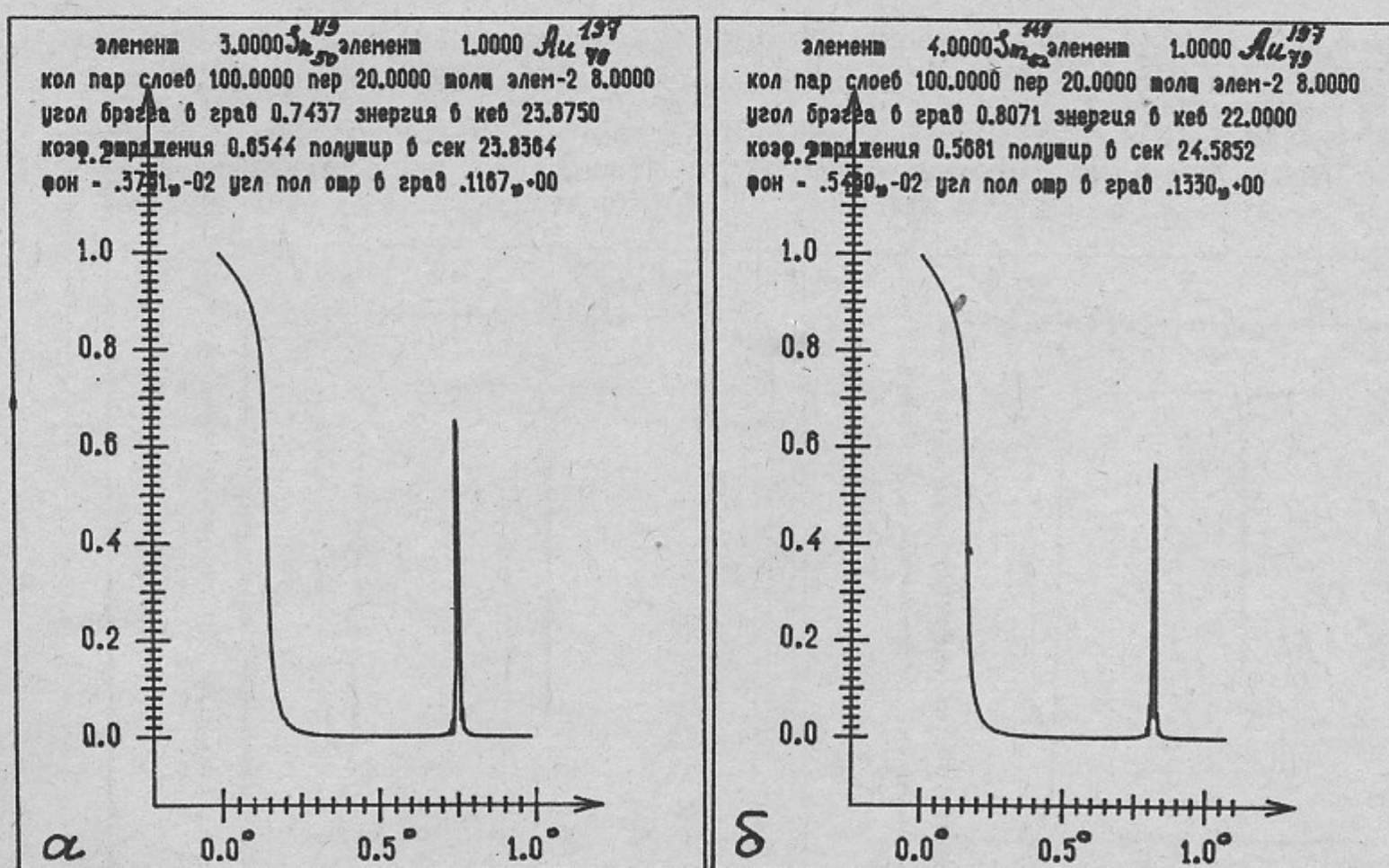


Рис. 2. а) кривая качания для плоской волны гамма-квантов с $E_{\gamma} = 23,875$, поляризацией δ отраженных от многослойного зеркала из 100 пар слоев толщина Zn - 12 A° , Au - 8 A° ; б) кривая качания для плоской волны гамма-квантов с $E_{\gamma} = 22$ кэв, поляризацией δ отраженных от многослойного зеркала из 100 пар слоев, толщина Zn - 12 A° , Au - 8 A° .

22

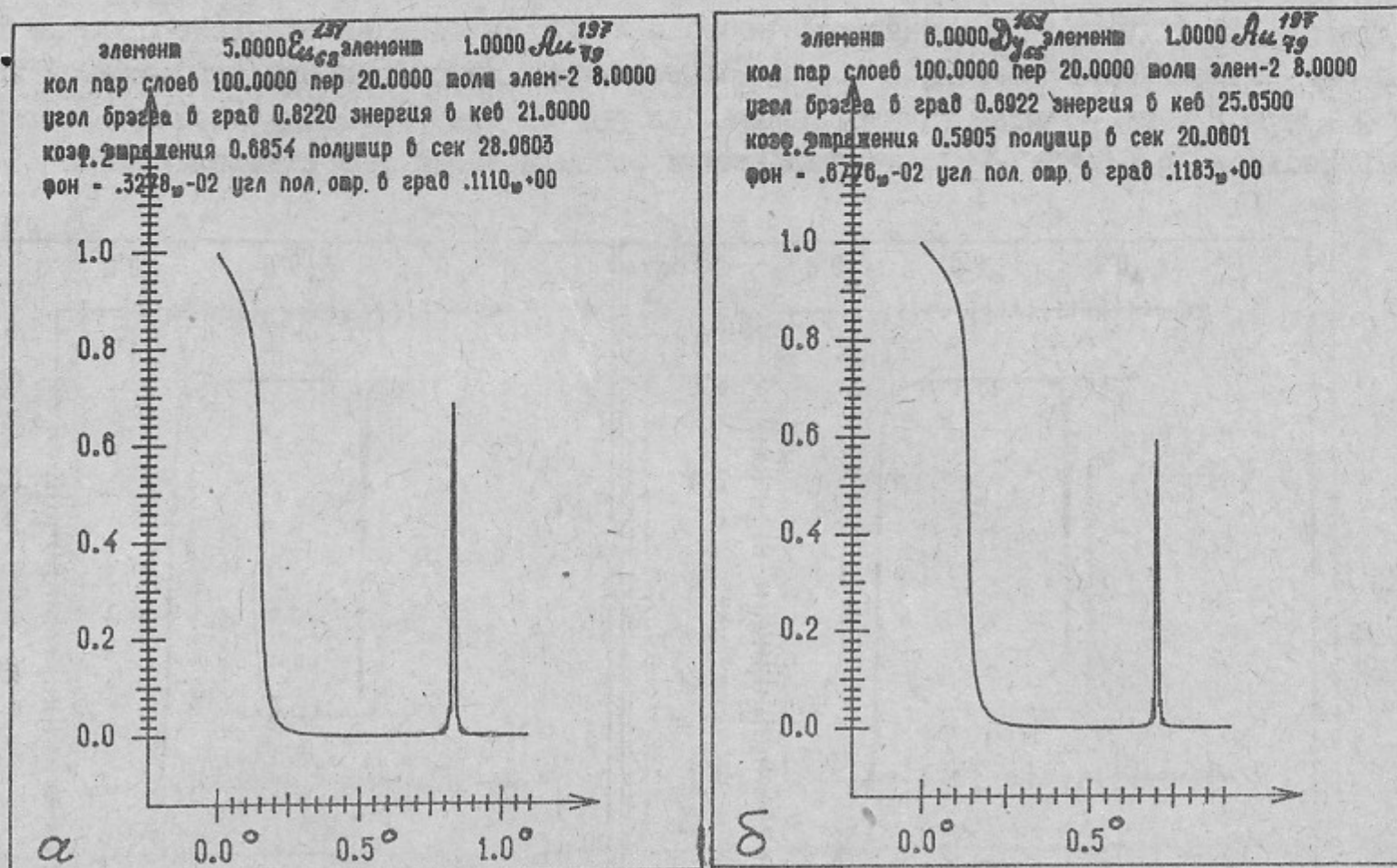


Рис. 3 а) кривая качания для плоской волны гамма-квантов с $E_\gamma = 21,6$ кэв, поляризацией σ отраженных от многослойного зеркала из 100 пар слоев толщина $\text{Eu} - 12 \text{ \AA}^{\circ}$, $\text{Au} - 8 \text{ \AA}^{\circ}$; б) кривая качания для плоской волны гамма-квантов с $E_\gamma = 25,65$ кэв, поляризацией σ , отраженных от многослойного зеркала из 100 пар слоев толщина $\text{Dy} - 12 \text{ \AA}^{\circ}$, $\text{Au} - 8 \text{ \AA}^{\circ}$.

23

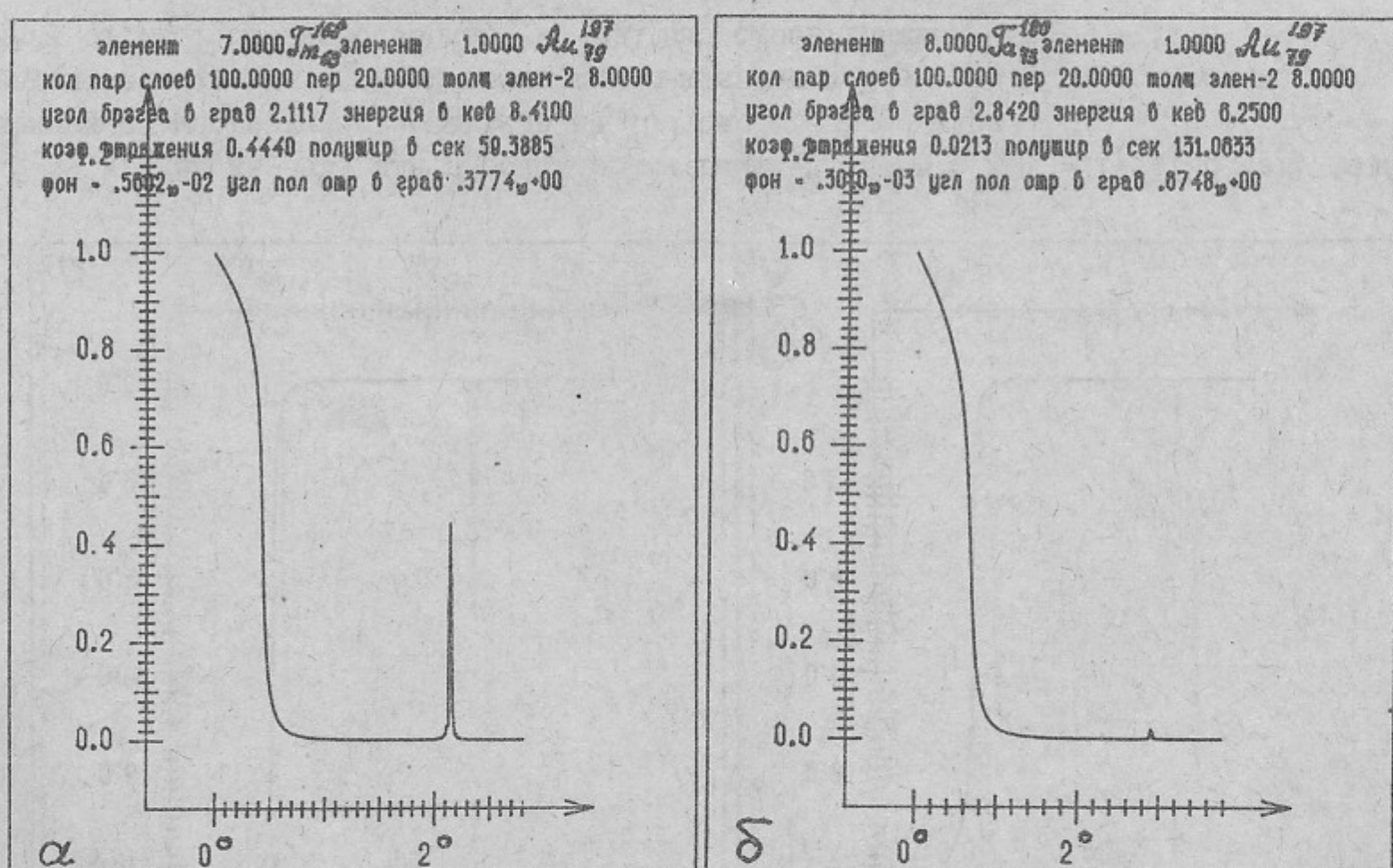


Рис. 4 а) кривая качания для плоской волны гамма-квантов с $E_\gamma = 8,41$ кэв, поляризацией σ отраженных от многослойного зеркала из 100 пар слоев толщина $\text{Tm} - 12 \text{ \AA}^{\circ}$, $\text{Au} - 8 \text{ \AA}^{\circ}$; б) кривая качания для плоской волны гамма-квантов с $E_\gamma = 6,25$ кэв, поляризацией σ отраженных от многослойного зеркала из 100 пар слоев толщина $\text{Ta} - 12 \text{ \AA}^{\circ}$, $\text{Au} - 8 \text{ \AA}^{\circ}$.

24

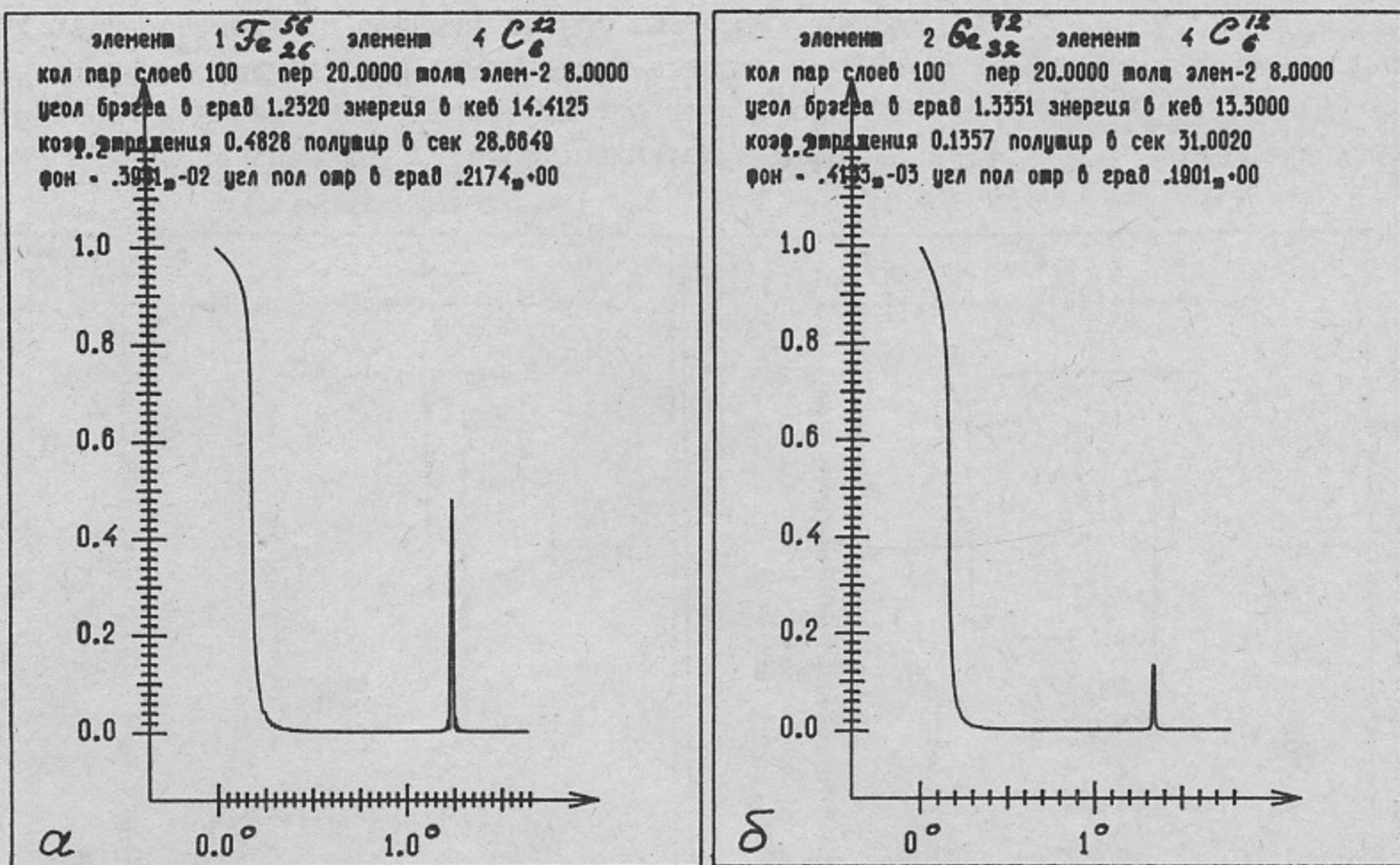


Рис. 5 а) кривая качания для плоской волны гамма-квантов с $E_{\gamma} = 14,4125$ кэв, поляризацией σ , отраженных от многослойного зеркала из 100 пар слоев толщина Fe - 12 \AA , C - 8 \AA ;
б) кривая качания для плоской волны гамма-квантов с $E_{\gamma} = 13,3$ кэв, поляризацией σ , отраженных от многослойного зеркала из 100 пар слоев толщина Ge - 12 \AA , C - 8 \AA .

25

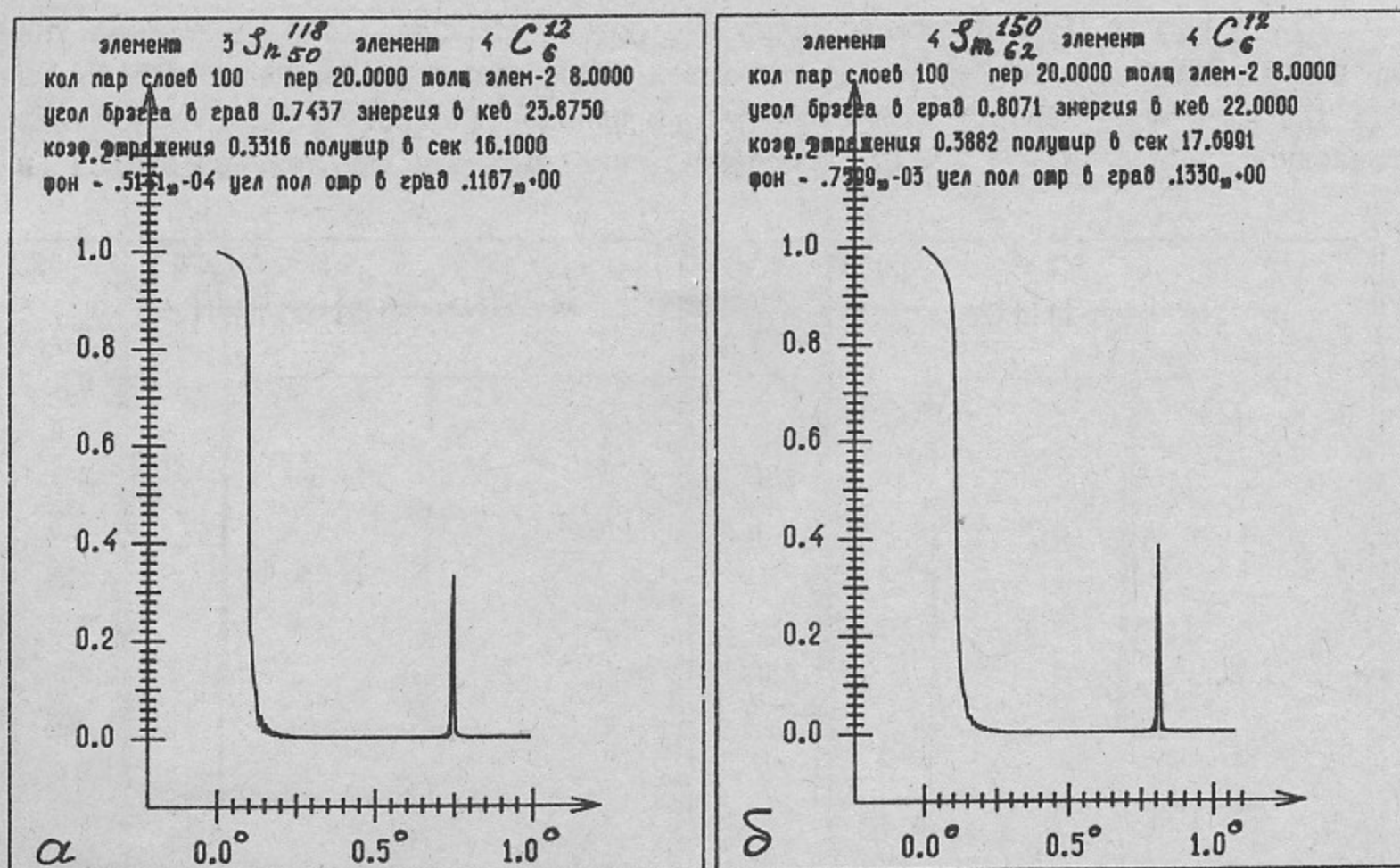


Рис. 6 а) кривая качания для плоской волны гамма-квантов с $E_{\gamma} = 23,87$ кэв, поляризацией σ , отраженных от многослойного зеркала из 100 пар слоев толщина Sn - 12 \AA , C - 8 \AA ;
б) кривая качания для плоской волны гамма-квантов с $E_{\gamma} = 22$ кэв, поляризацией σ , отраженных от многослойного зеркала из 100 пар слоев толщина Sn - 12 \AA , C - 8 \AA .

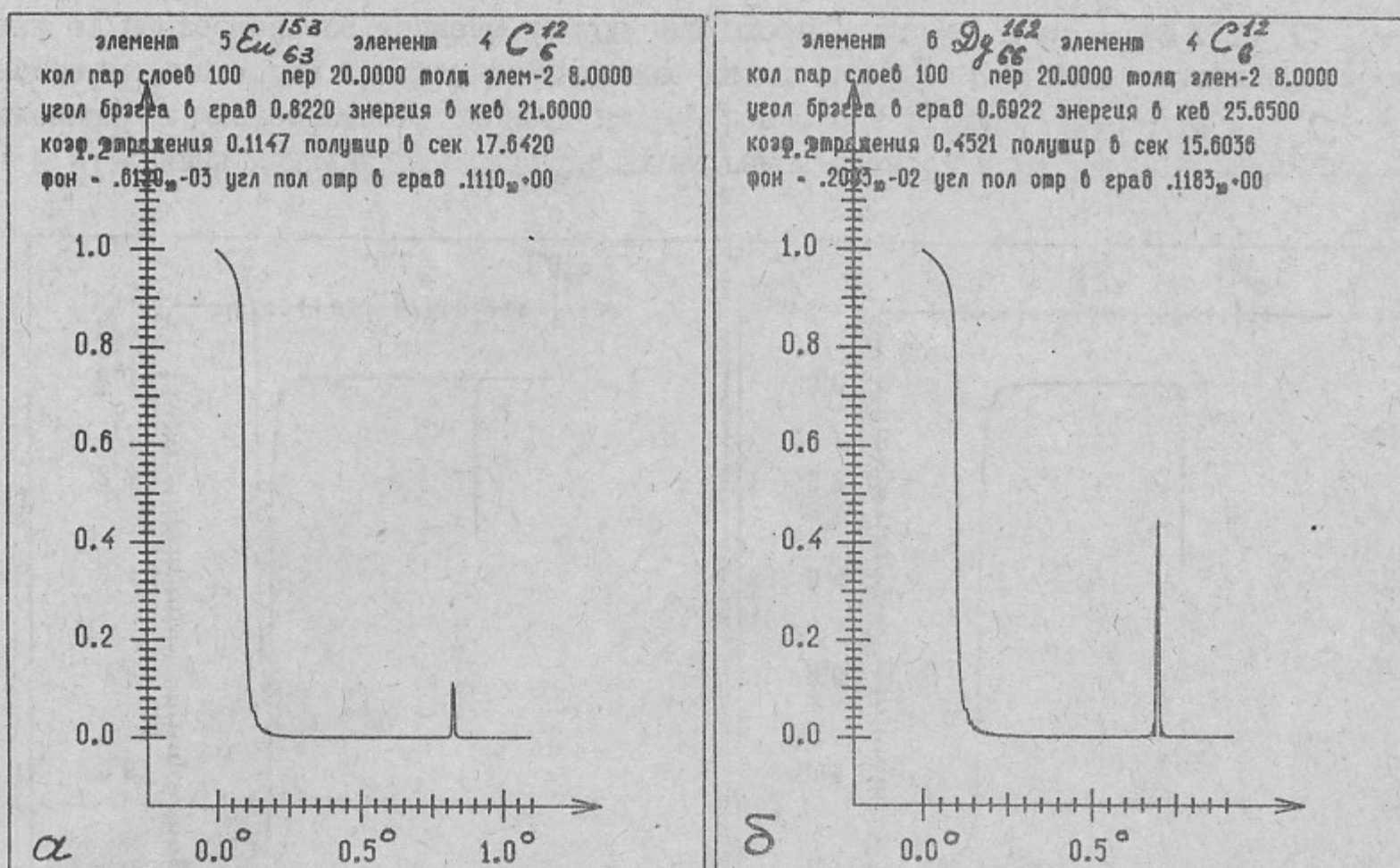


Рис. 7 а) кривая качания для плоской волны гамма-квантов с $E_\gamma = 21,6$ кэв, поляризацией ζ , отраженных от многослойного зеркала из 100 пар слоев толщина $\text{Eu} - 12 \text{ A}^\circ$, $C - 8 \text{ A}^\circ$; б) кривая качания для плоской волны гамма-квантов с $E_\gamma = 25,65$ кэв, поляризацией ζ , отраженных от многослойного зеркала из 100 пар слоев толщина $\text{Dy} - 12 \text{ A}^\circ$, $C - 8 \text{ A}^\circ$.

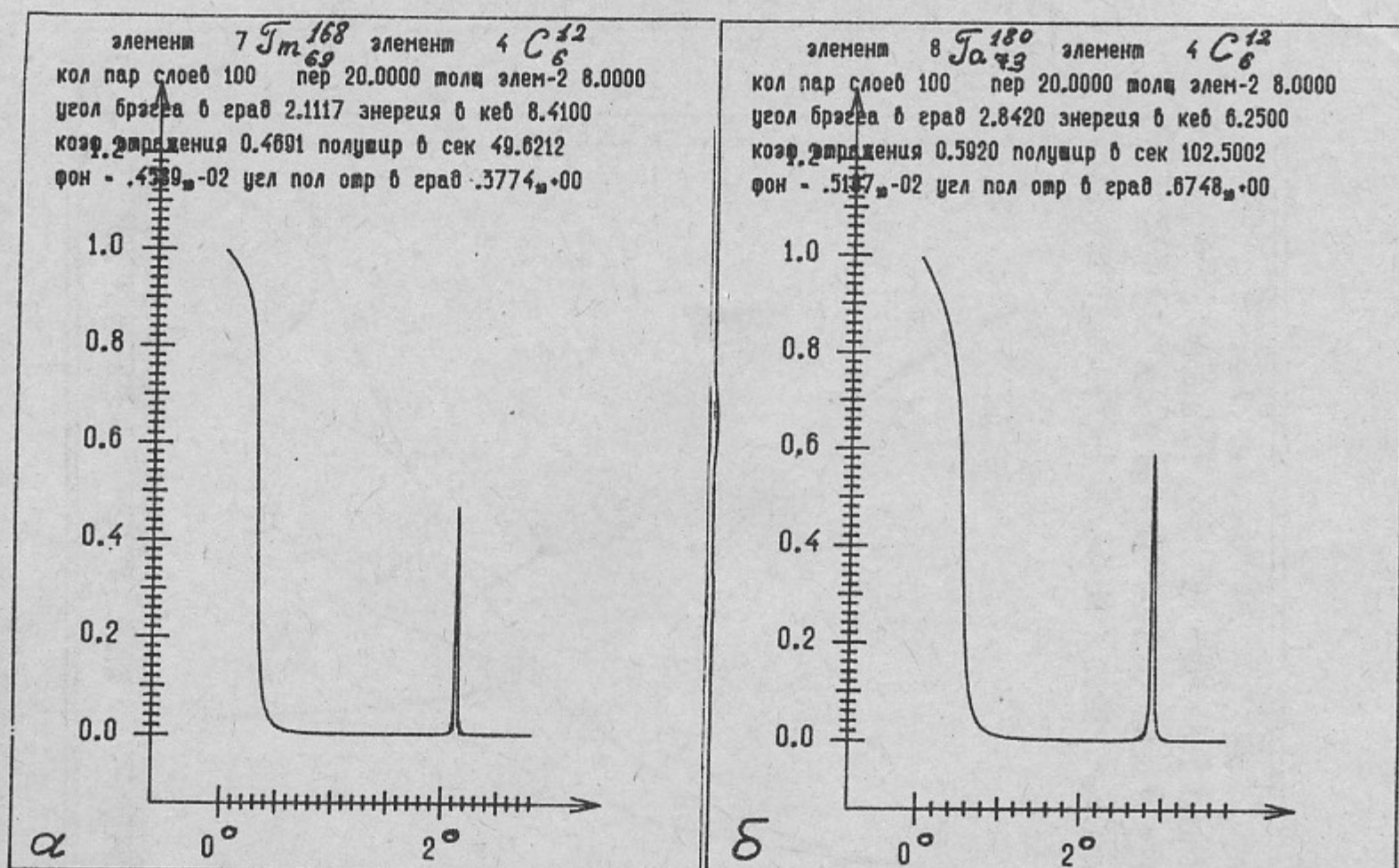


Рис. 8 а) кривая качания для плоской волны гамма-квантов с $E_\gamma = 8,41$ кэв, поляризацией ζ , отраженных от многослойного зеркала из 100 пар слоев толщина $\text{Tm} - 12 \text{ A}^\circ$, $C - 8 \text{ A}^\circ$; б) кривая качания для плоской волны гамма-квантов с $E_\gamma = 6,25$ кэв, поляризацией ζ , отраженных от многослойного зеркала из 100 пар слоев толщина $\text{Ta} - 12 \text{ A}^\circ$, $C - 8 \text{ A}^\circ$.

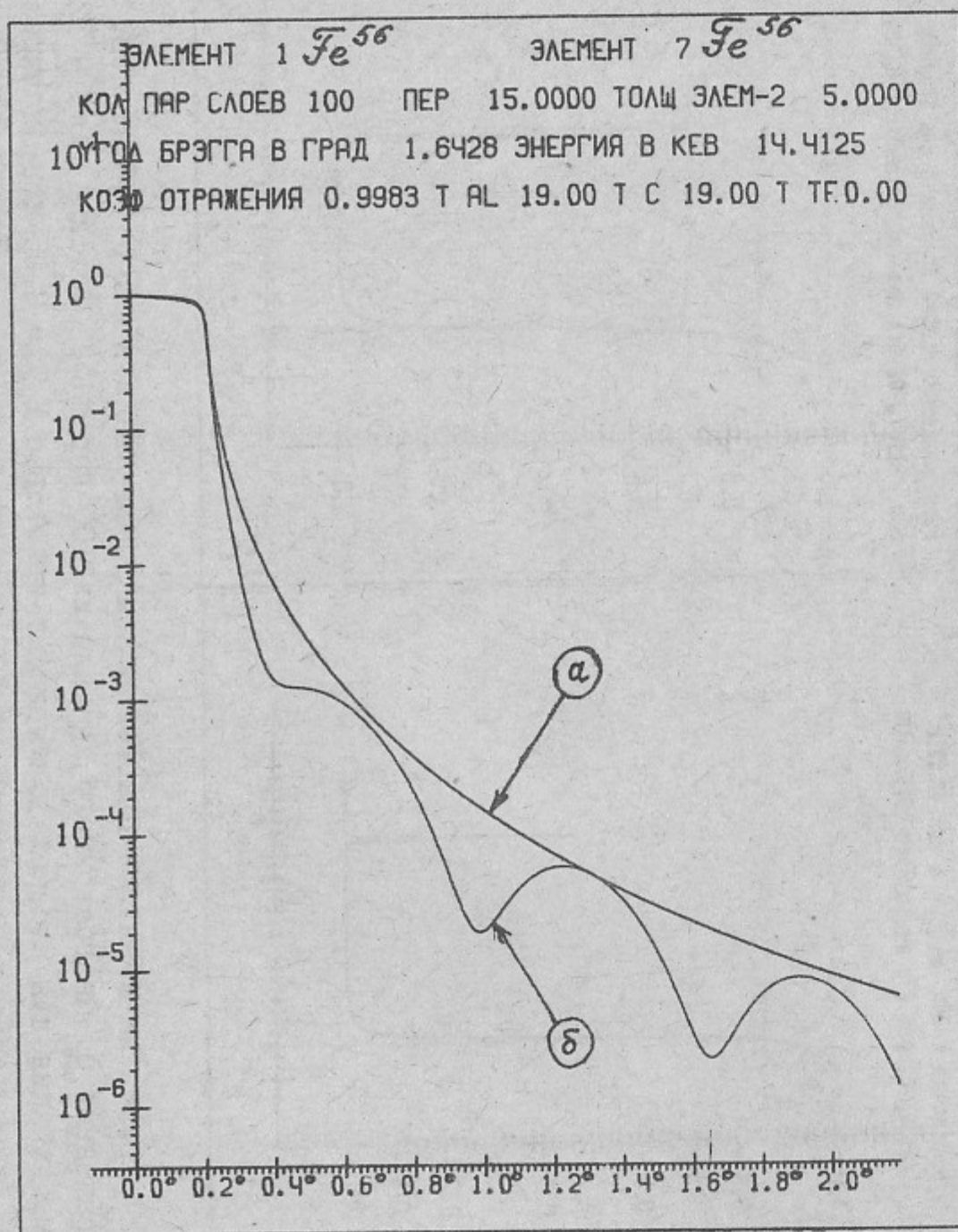


Рис. 9. Кривая качания для плоской волны гамма-квантов с $E_\gamma = 14,4125$ кэв, поляризацией C , отраженных от а) зеркала из Fe ; б) зеркала из Fe , покрытом двумя слоями Al толщиной 19 \AA и C толщиной 19 \AA соответственно.

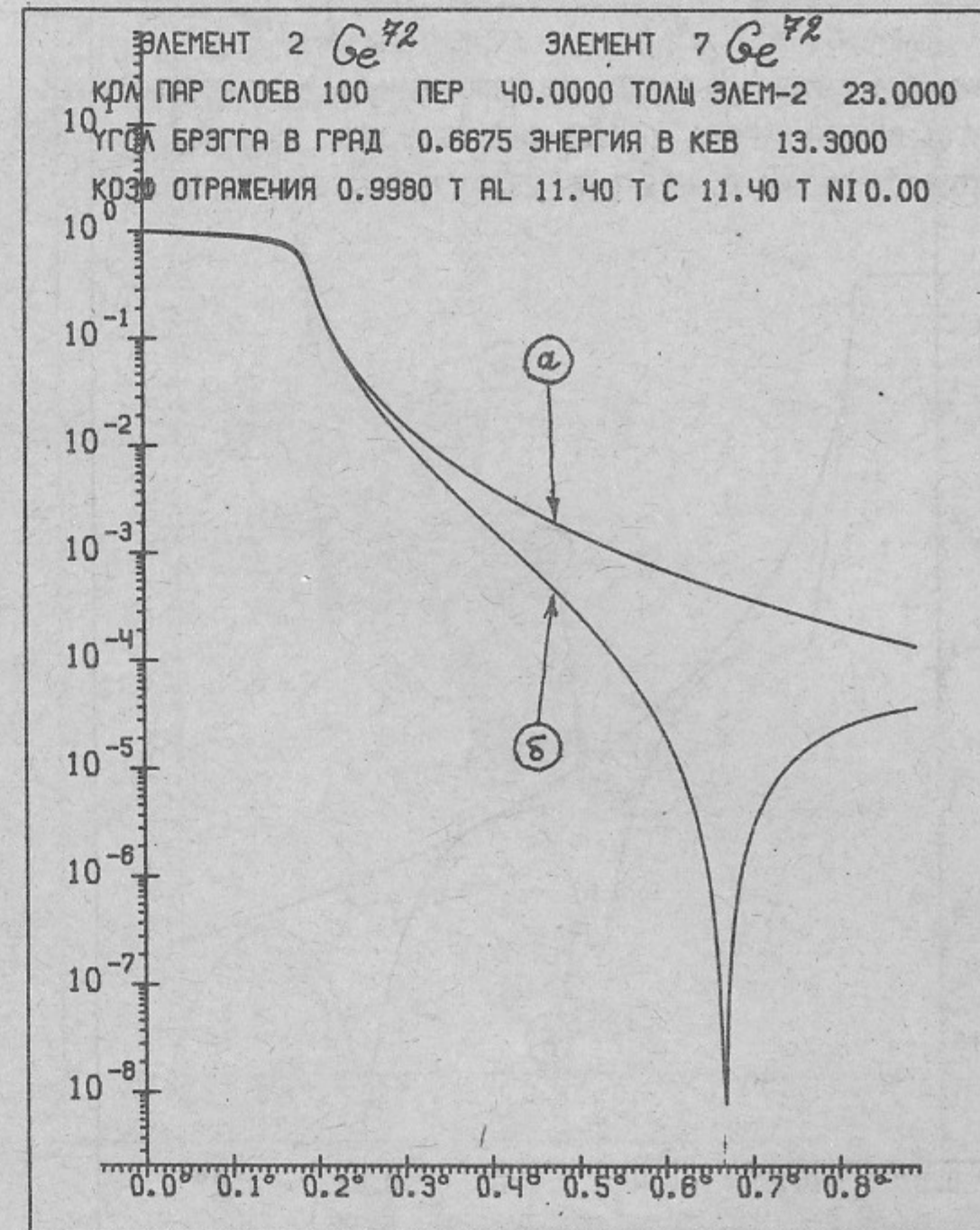


Рис. 10. Кривая качания для плоской волны гамма-квантов с $E_\gamma = 13,3$ кэв, поляризацией C , отраженных от а) зеркала из Ge ; б) зеркала из Ge , покрытым двумя слоями Al - толщиной $11,4 \text{ \AA}$ и C - толщиной $11,4 \text{ \AA}$ соответственно

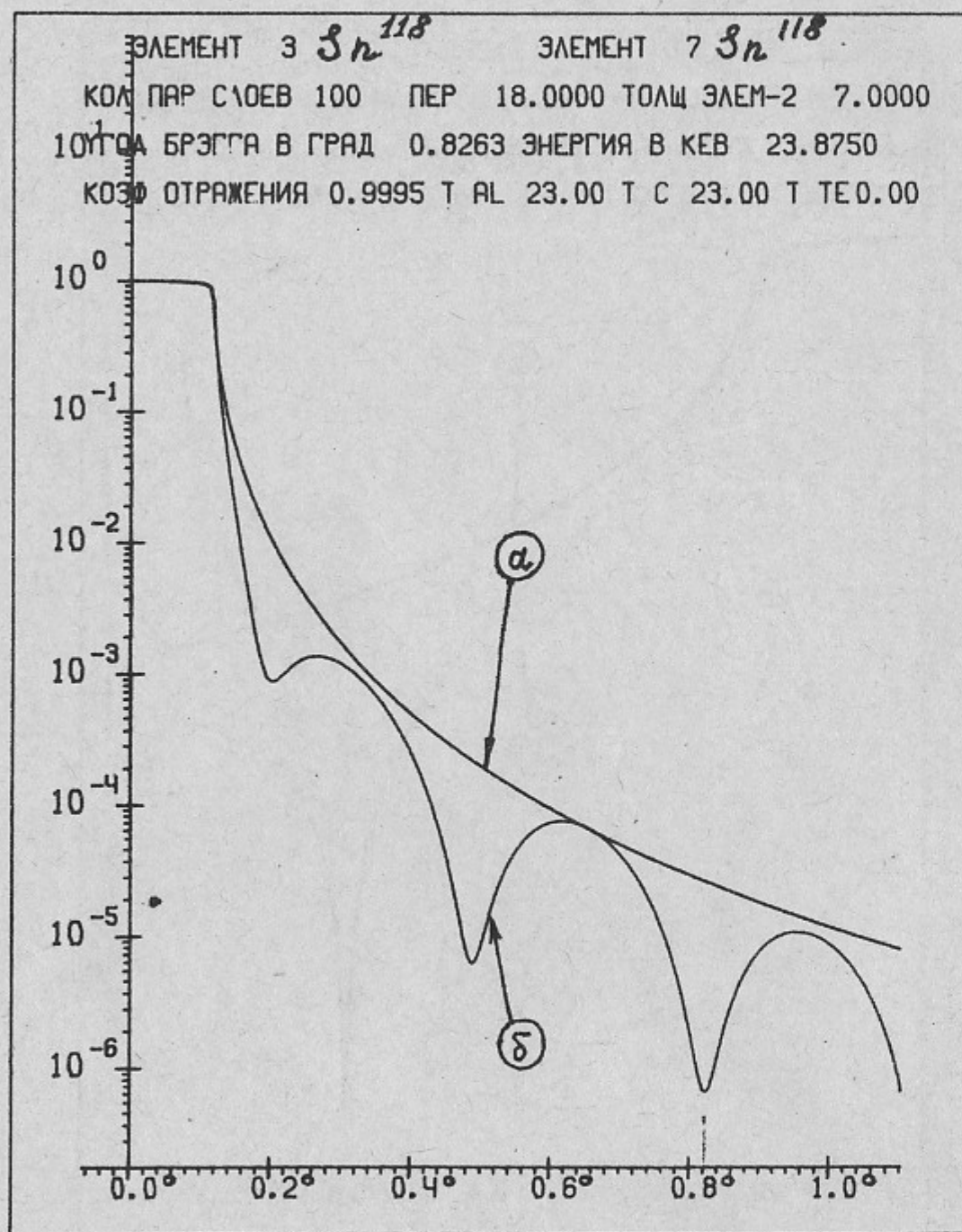


Рис. II. Кривая качания для плоской волны гамма-квантов с $E_{\gamma} = 23,875$ кэв, поляризацией σ , отраженных от
а) зеркала из Sn ; б) зеркала из Sn , покрытым двумя
слоями Al - толщиной 23 \AA и C - толщиной 23 \AA
соответственно

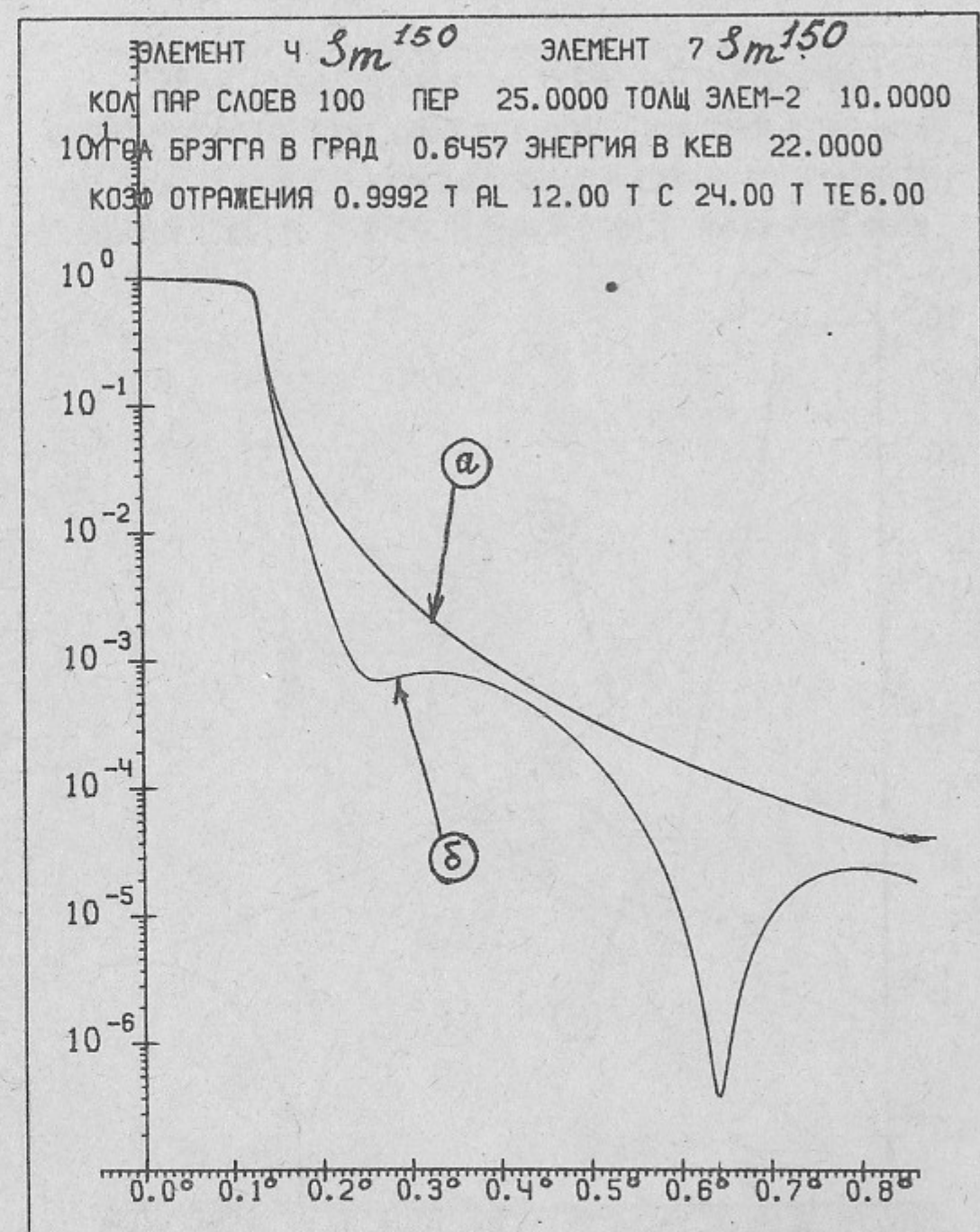


Рис. I2. Кривая качания для плоской волны гамма-квантов с $E_{\gamma} = 22$ кэв поляризацией σ , отраженных от
а) зеркала из Sn ; б) зеркала из Sn покрытым тремя
слоями Fe - толщиной 6 \AA , Al - толщиной 12 \AA и
 C - толщиной 24 \AA соответственно

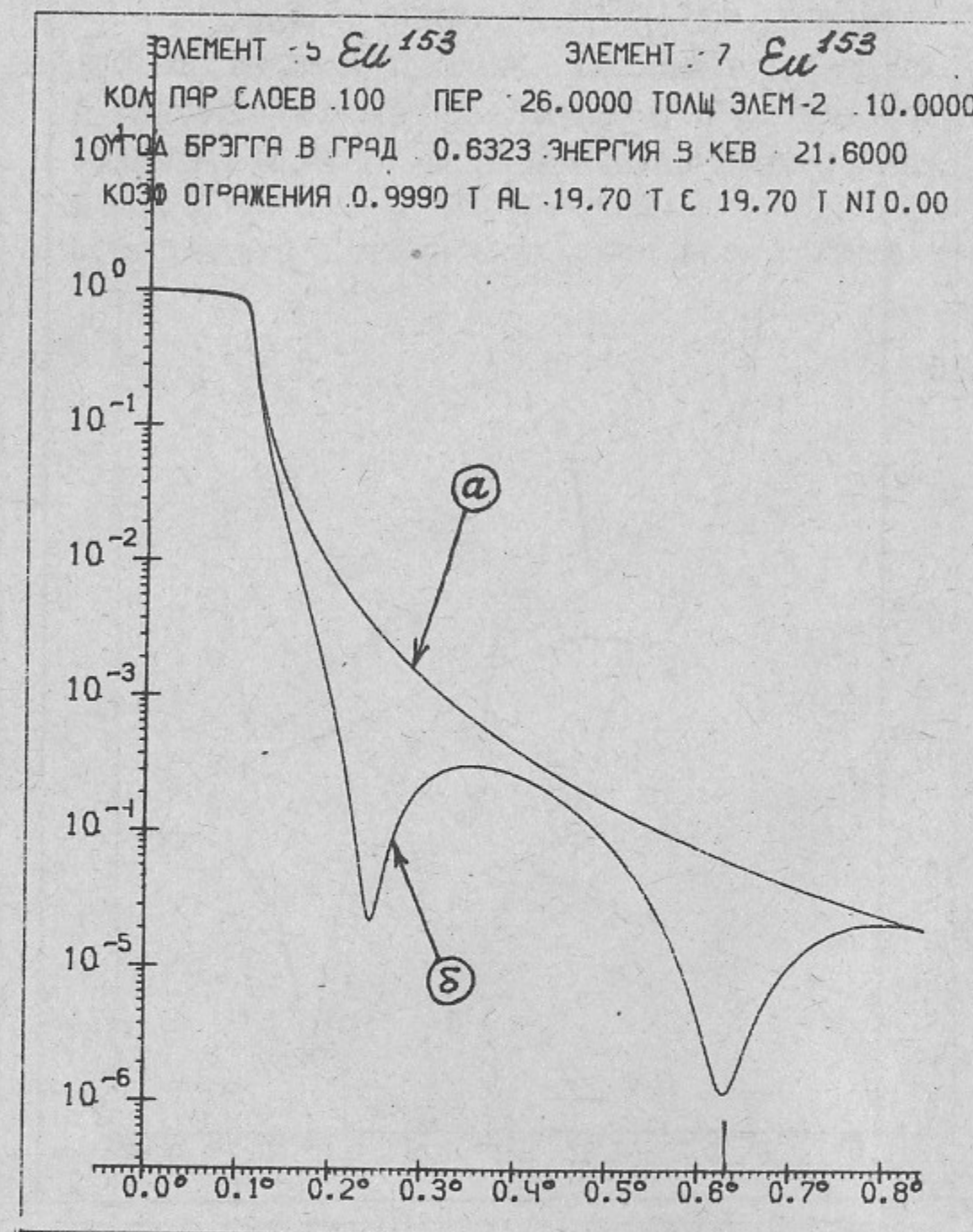


Рис. I3. Кривая качания для плоской волны гамма-квантов с $E_\gamma = 21,6$ кэв, поляризацией C , отраженных от а) зеркала из Eu ; б) зеркала из Eu покрытым двумя слоями Al - толщиной $19,7 \text{ \AA}$ и C - толщиной $19,7 \text{ \AA}$ соответственно.

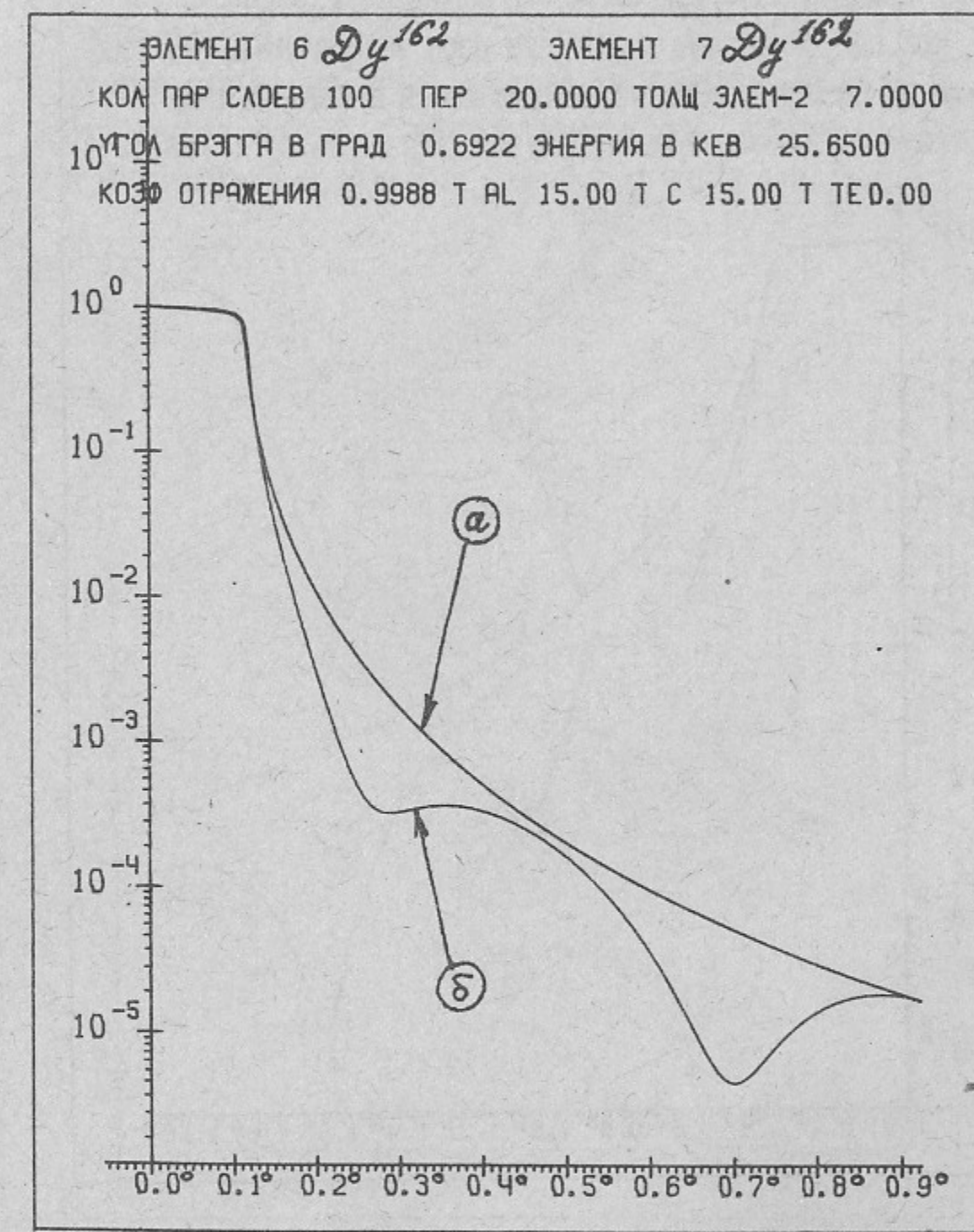


Рис. I4. Кривая качания для плоской волны гамма-квантов с $E_\gamma = 25,65$ кэв поляризацией C , отраженных от а) зеркала из Dy ; б) зеркала из Dy покрытым двумя слоями Al - толщиной 15 \AA и C - толщиной 15 \AA соответственно.

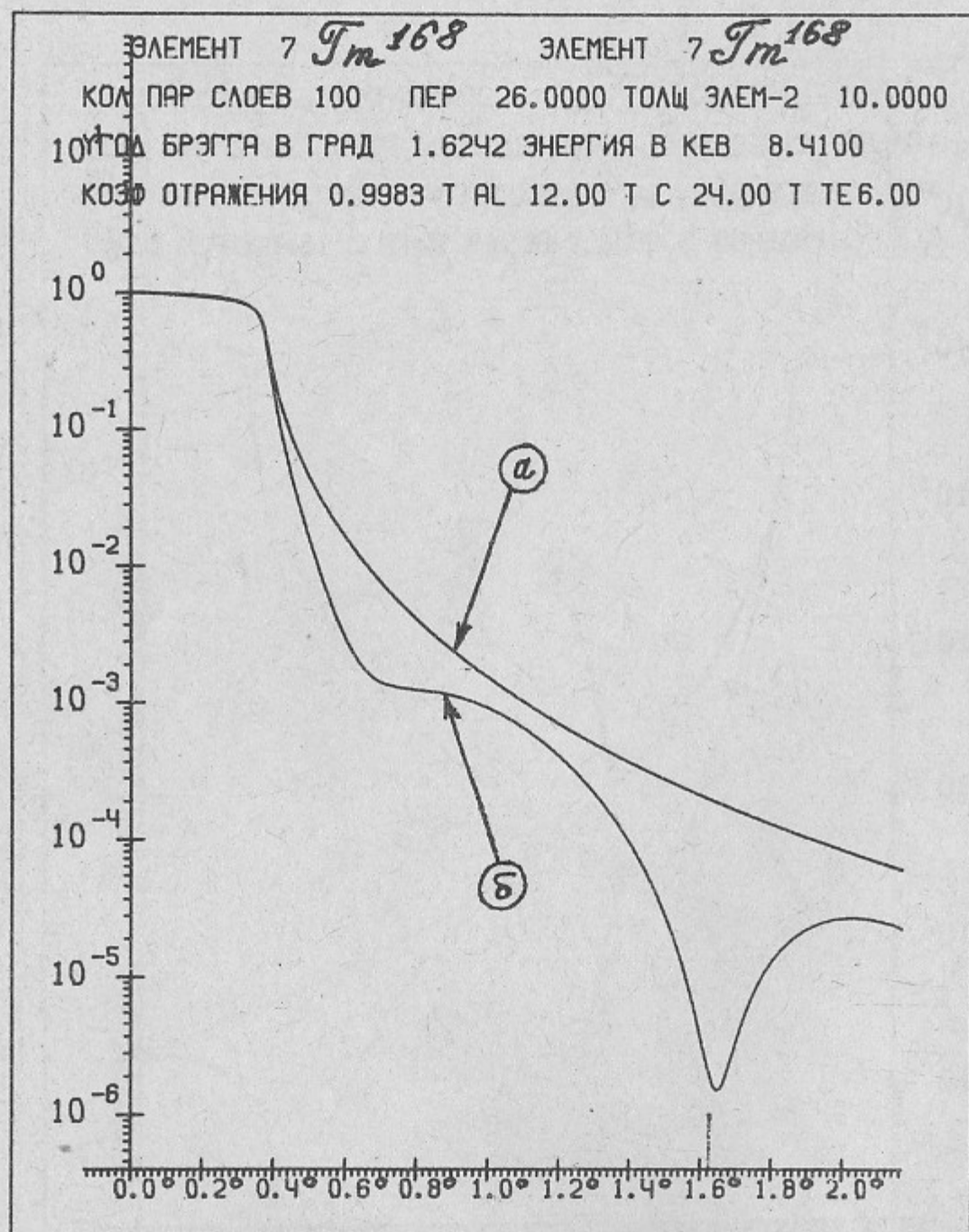


Рис. I5. Кривая качания для плоской волны гамма-квантов с $E_{\gamma} = 8,41$ кэв поляризацией σ , отраженных от
а) зеркала из Fe ; б) зеркала из Fe покрытым тремя
слоями Te - толщиной 6 \AA^0 , Al - толщиной 12 \AA^0 и
 C - толщиной 24 \AA^0 соответственно.

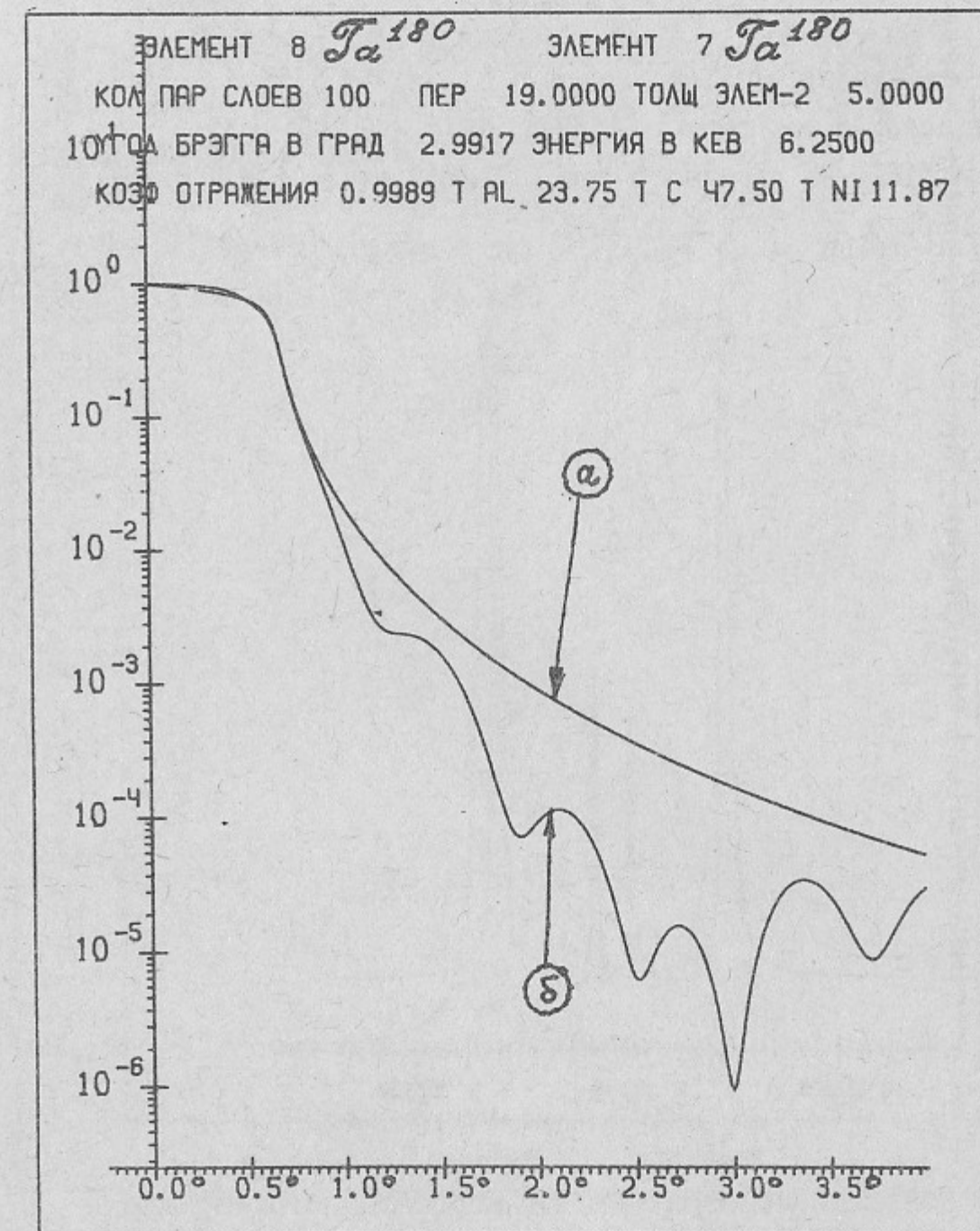


Рис. I6. Кривая качания для плоской волны гамма-квантов с $E_{\gamma} = 6,25$ кэв поляризацией σ , отраженных от
а) зеркала из Ta ; б) зеркала из Ta покрытым тремя
слоями Ni - толщиной 11.87 \AA^0 , Al - толщиной 23.75 \AA^0 и
 C - толщиной 47.5 \AA^0 соответственно.

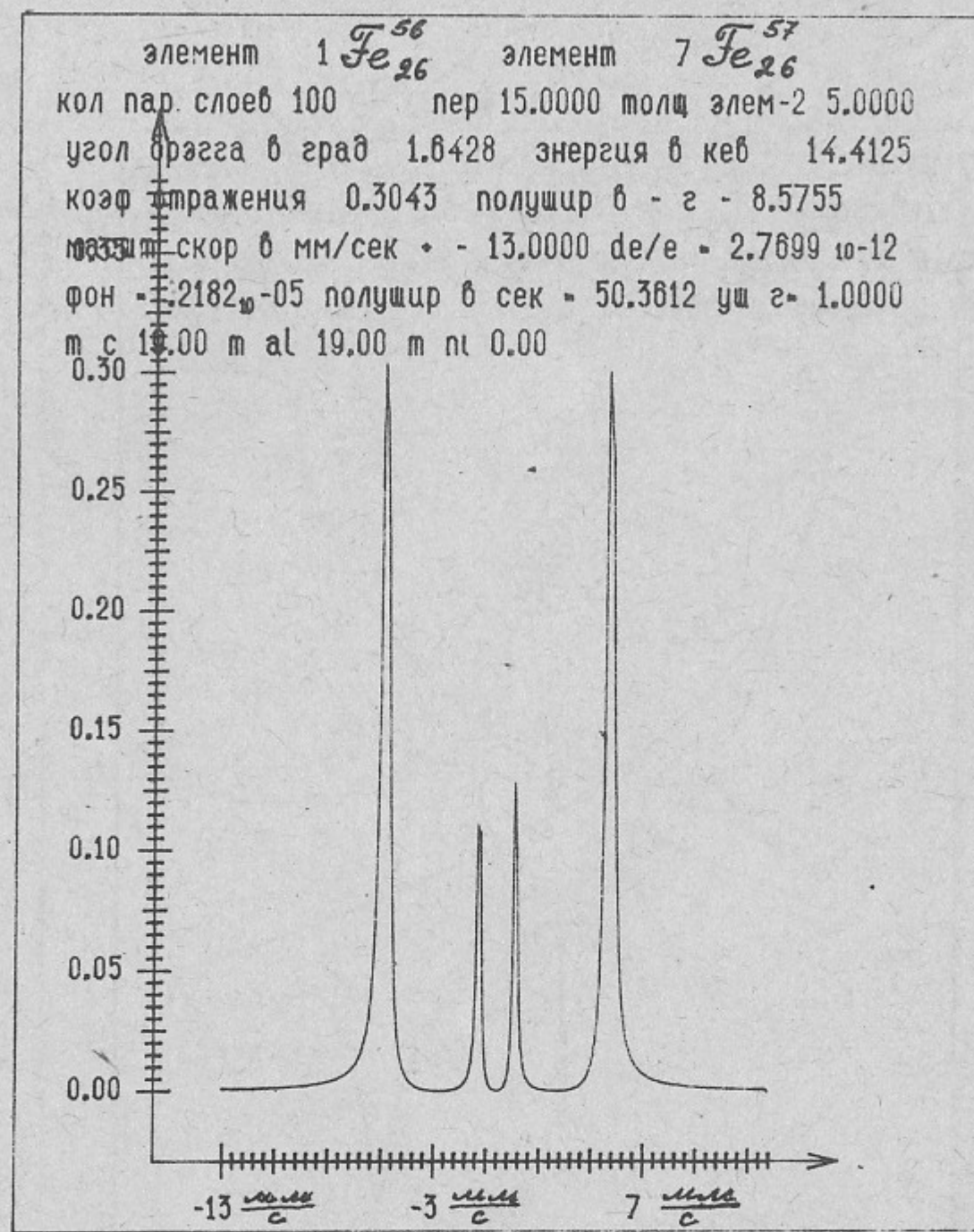


Рис. I7. Коэффициент отражения от многослойного зеркала

$\text{Fe}^{56} - \text{Fe}^{57}$ ($T_{\text{Fe}^{56}} = 10 \text{ A}^{\circ}$, $T_{\text{Fe}^{57}} = 5 \text{ A}^{\circ}$, $N = 100$ пар)
 с антиотражающим покрытием для плоской волны гамма-квантов
 σ - поляризованных, падающих под углом $\theta_B = 1,6428^{\circ}$
 в зависимости от энергии гамма-квантов $E_{\gamma} = E_{\gamma}^0 + \sqrt{c} E^0$,
 $E_{\gamma}^0 = 14,4125$ кэв. Магнитное поле $H \parallel K$ параллельно
 плоскости рассеяния гамма-квантов и параллельно плоскости
 многослойного зеркала. Два слоя покрытия: $T_{\text{Al}} = 19 \text{ A}^{\circ}$ и
 $T_c = 19 \text{ A}^{\circ}$.

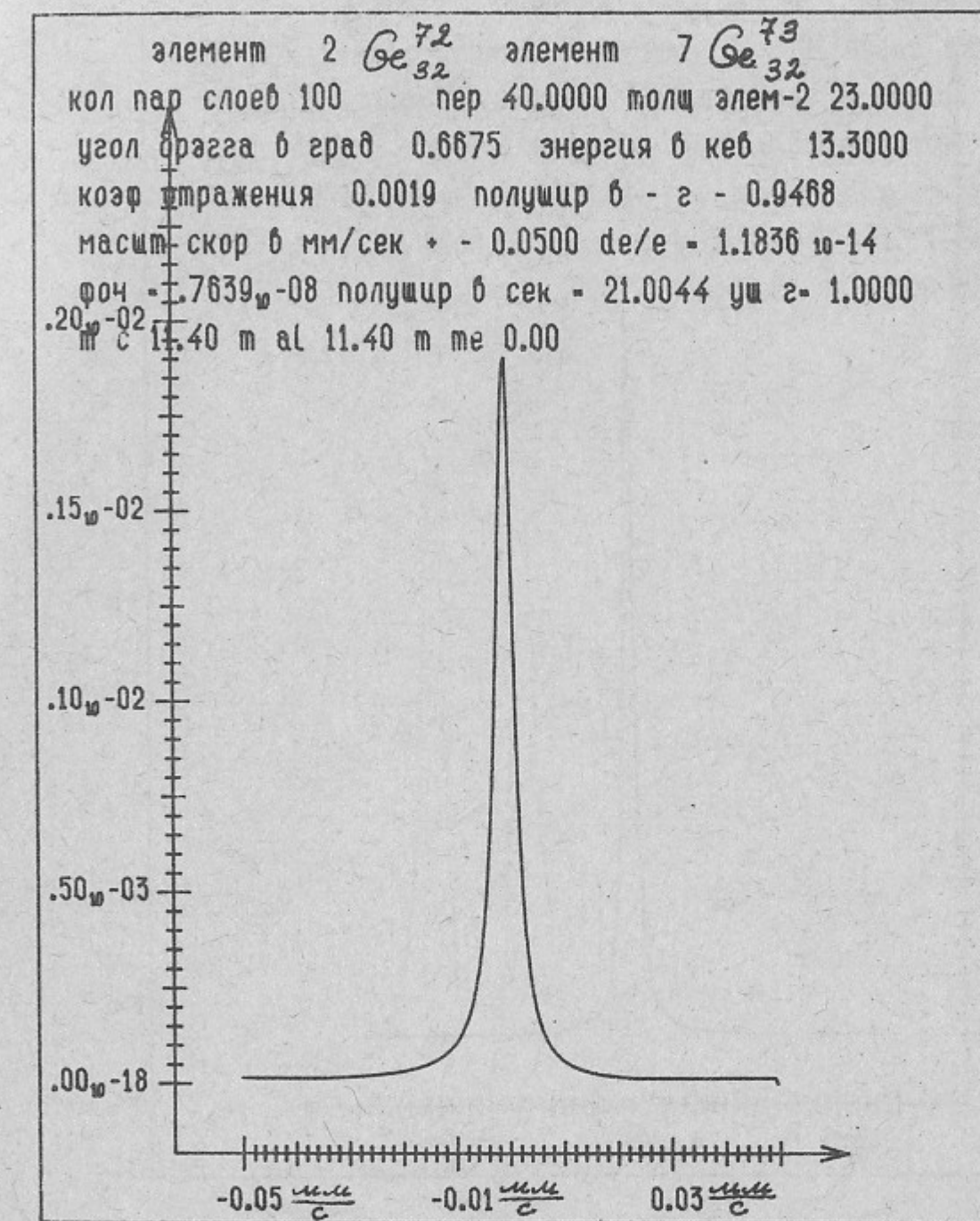


Рис. I8. Коэффициент отражения от многослойного зеркала

$\text{Ge}^{72} - \text{Ge}^{73}$ ($T_{\text{Ge}^{72}} = 17 \text{ A}^{\circ}$, $T_{\text{Ge}^{73}} = 23 \text{ A}^{\circ}$, $N = 100$ пар)
 с антиотражающим покрытием для плоской волны гамма-квантов
 σ - поляризованных, падающих под углом $\theta_B = 0,6675^{\circ}$ в
 зависимости от энергии гамма-квантов $E_{\gamma} = E_{\gamma}^0 + \sqrt{c} E^0$,
 $E_{\gamma}^0 = 13,3$ кэв. Два слоя покрытия: $T_{\text{Al}} = 11,4 \text{ A}^{\circ}$, $T_c = 11,4 \text{ A}^{\circ}$.

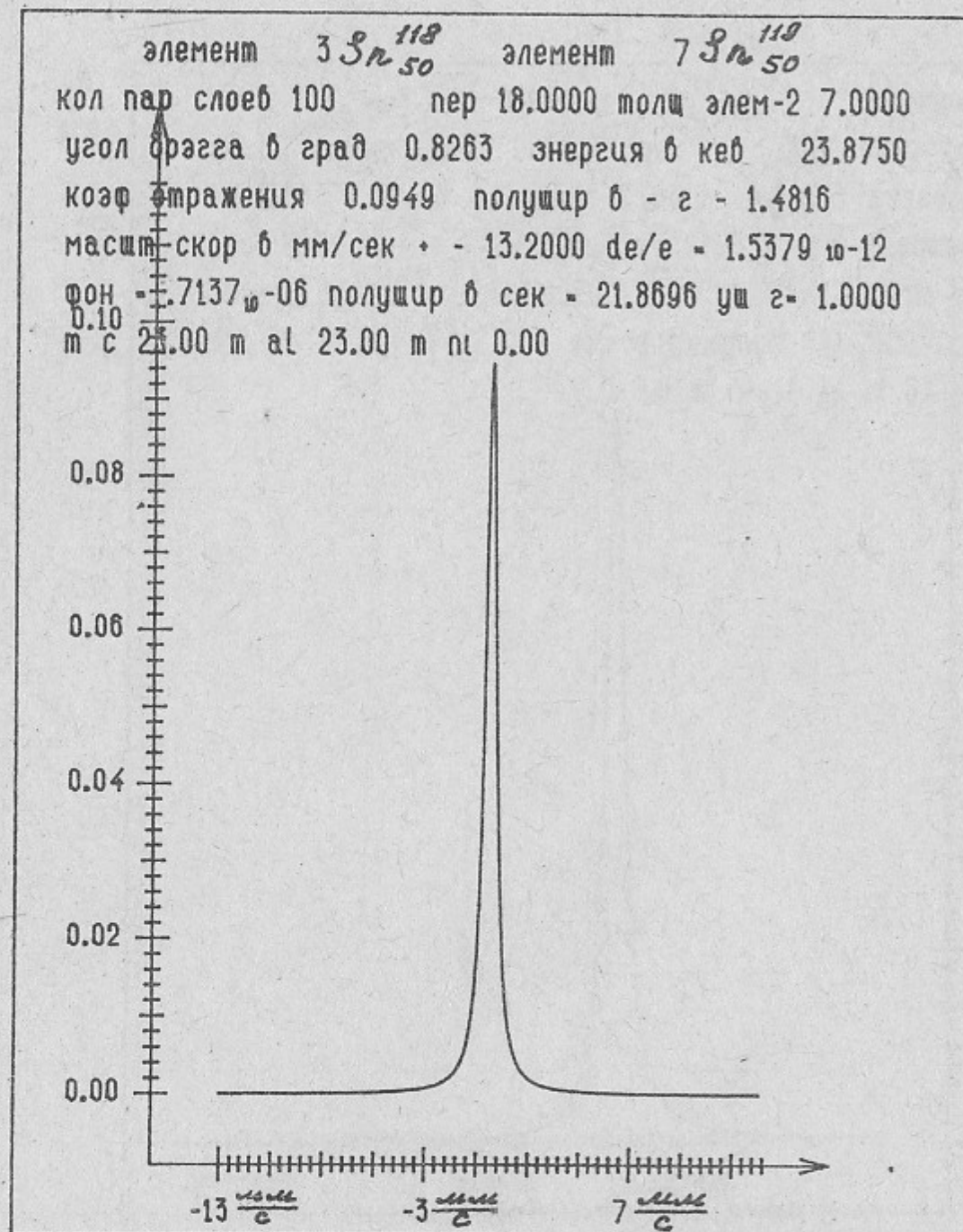


Рис. 19. Коэффициент отражения от многослойного зеркала $\text{Sn}^{118}-\text{Sn}^{119}$ ($T_{\text{Sn}^{118}} = 11 \text{ A}^0$, $T_{\text{Sn}^{119}} = 7 \text{ A}^0$, $N = 100$ пар) с антиотражающим покрытием для плоской волны гамма-квантов ζ - поляризованных, падающих под углом $\theta_B = 0.8263^\circ$ в зависимости от энергии гамма-квантов $E_\gamma = E_\gamma^0 + \frac{v}{c} \cdot E_\gamma^0$, $E_\gamma^0 = 23.875$. Два слоя покрытия $T_{\text{Fe}} = 23 \text{ A}^0$, $T_{\text{C}} = 23 \text{ A}^0$.

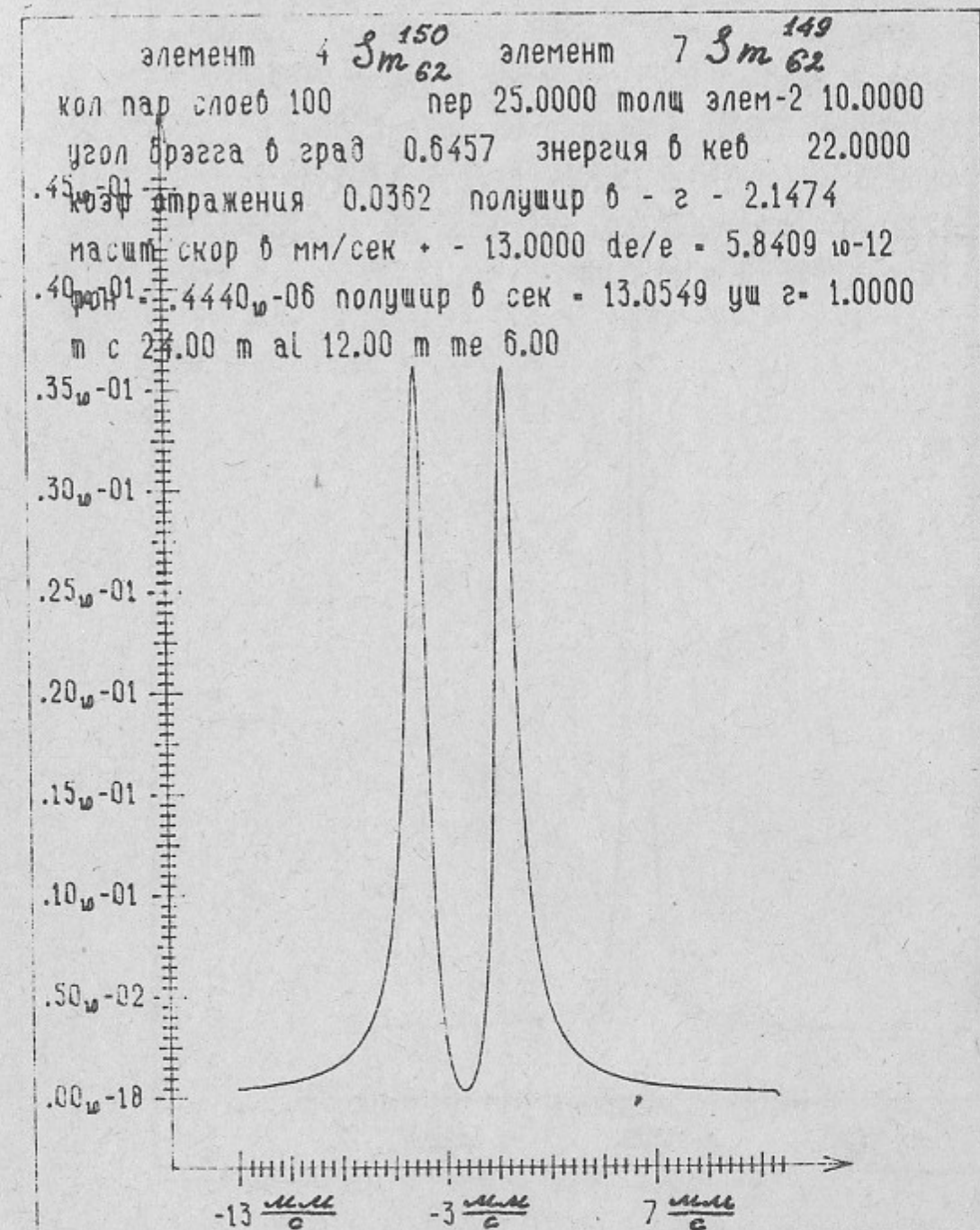


Рис. 20. Коэффициент отражения от многослойного зеркала $\text{Sm}^{150}-\text{Sm}^{149}$ ($T_{\text{Sm}^{150}} = 15 \text{ A}^0$, $T_{\text{Sm}^{149}} = 10 \text{ A}^0$, $N = 100$ пар) с антиотражающим покрытием для плоской волны гамма-квантов ζ - поляризованных под углом $\theta_B = 0.6457^\circ$ в зависимости от энергии гамма-квантов $E_\gamma = E_\gamma^0 + \frac{v}{c} \cdot E_\gamma^0$, $E_\gamma^0 = 22$ кэв. Три слоя покрытия: $T_{\text{Fe}} = 6 \text{ A}^0$, $T_{\text{Al}} = 12 \text{ A}^0$ и $T_{\text{C}} = 24 \text{ A}^0$.

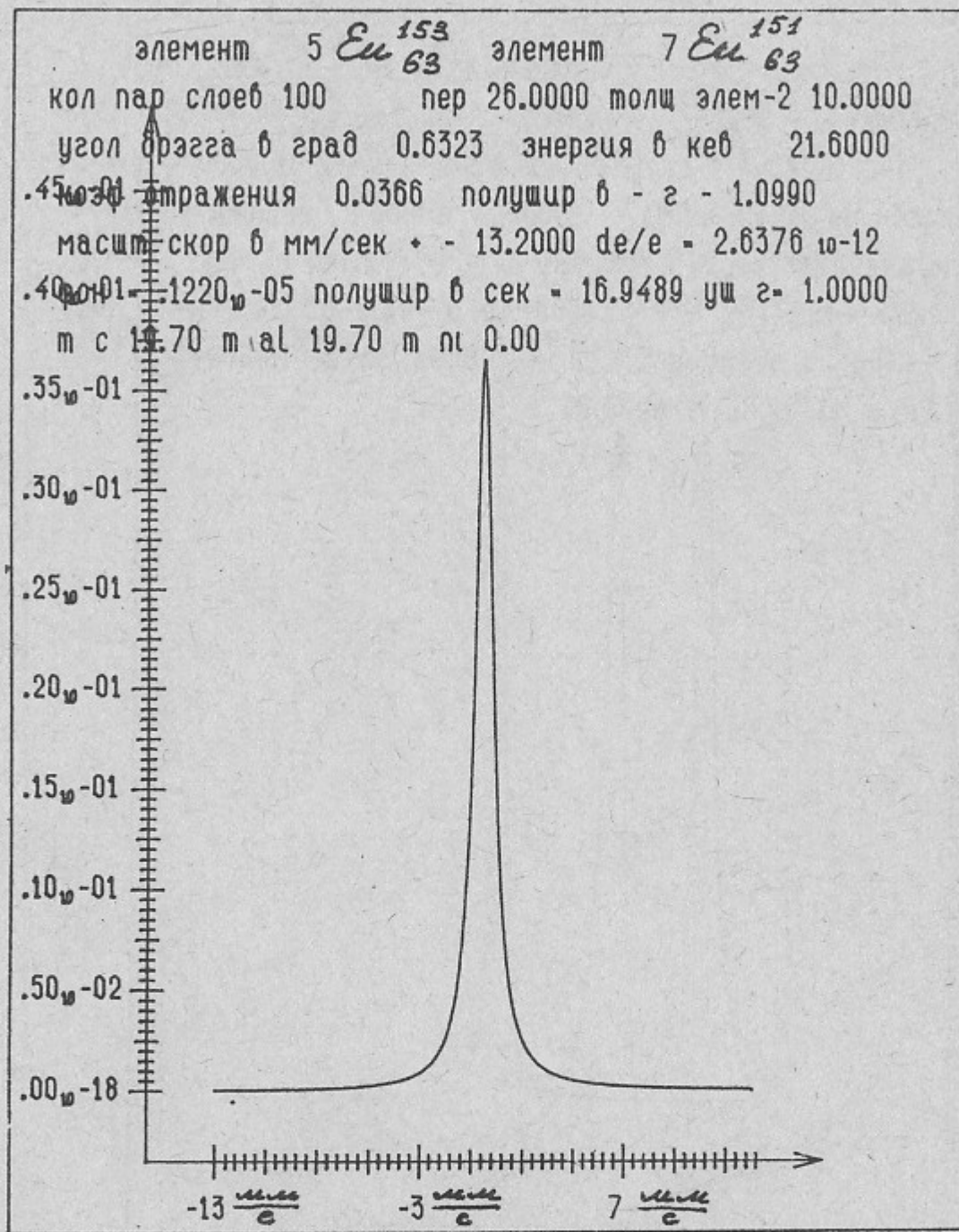


Рис. 21. Коеффициент отражения от многослойного зеркала

$\text{Eu}^{153} - \text{Eu}^{151}$ ($T_{\text{Eu}^{153}} = 16 \text{ A}^{\circ}$, $T_{\text{Eu}^{151}} = 10 \text{ A}^{\circ}$, $N = 100$ пар) с антиотражающим покрытием для плоской волны гамма-квантов δ — поляризованных, падающих под углом $\theta_B = 0,6323^{\circ}$ в зависимости от энергии гамма-квантов $E_{\gamma} = E_{\gamma}^0 + v/c \cdot E_{\gamma}^0$, $E_{\gamma}^0 = 21,6$ кэв. Два слоя покрытия: $T_{\text{Al}} = 19,7 \text{ A}^{\circ}$, $T_{\text{C}} = 19,7 \text{ A}^{\circ}$.

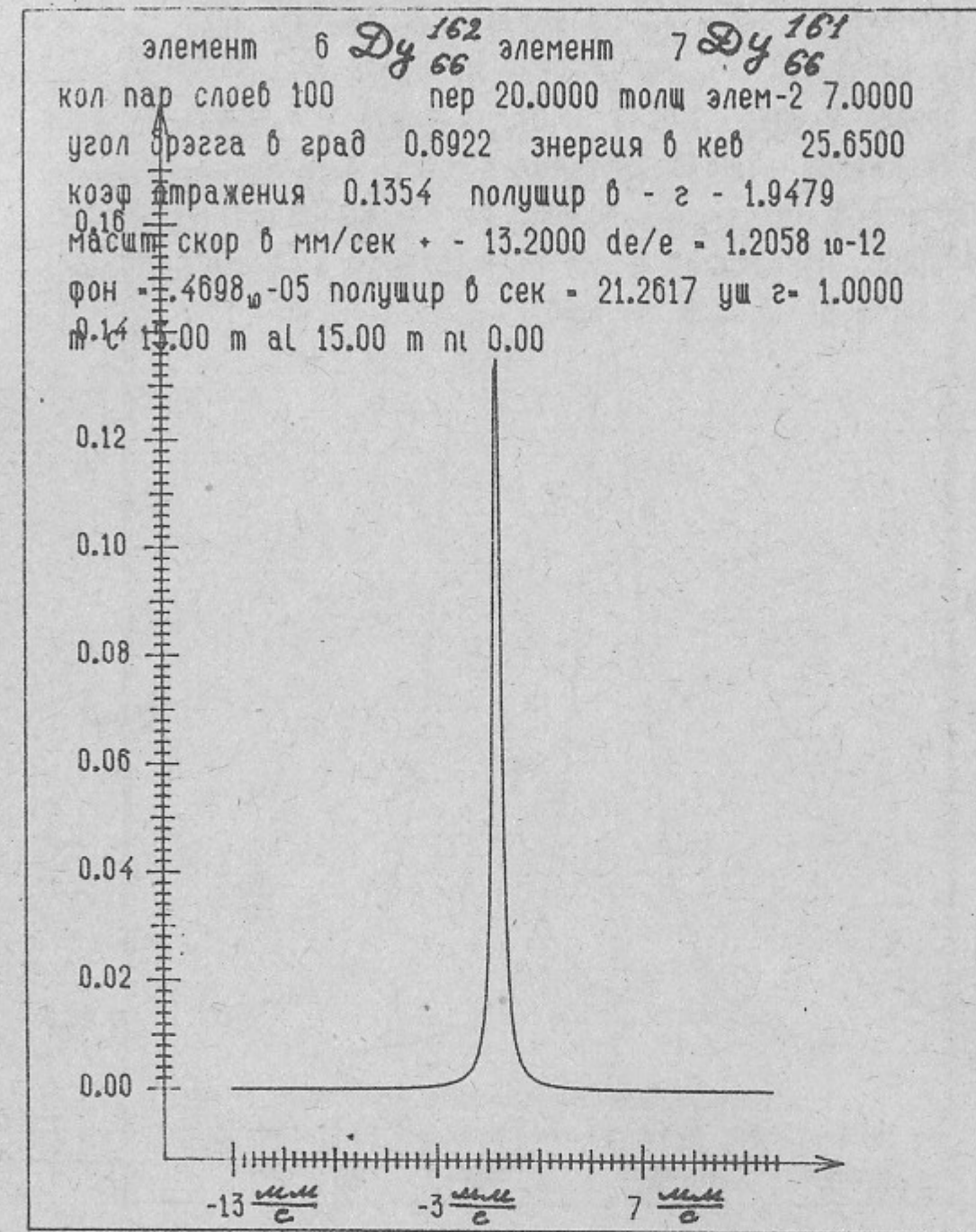


Рис. 22. Коеффициент отражения от многослойного зеркала

$Dy^{162} - Dy^{161}$ ($T_{Dy^{162}} = 13 \text{ A}^\circ$, $T_{Dy^{161}} = 7 \text{ A}^\circ$, $N = 100$ пар) с антиотражающим покрытием для плоской волны гамма-квантов γ - поляризованных, падающих под углом $\theta_B = 0,6922^\circ$ в зависимости от энергии гамма-квантов $E_\gamma = E_\gamma^0 + \frac{v/c}{E_\gamma^0} \cdot E_\gamma^0$, $E_\gamma^0 = 25,65 \text{ кэв}$. Два слоя покрытия $T_{Re} = 15 \text{ A}^\circ$, $T_C = 15 \text{ A}^\circ$.

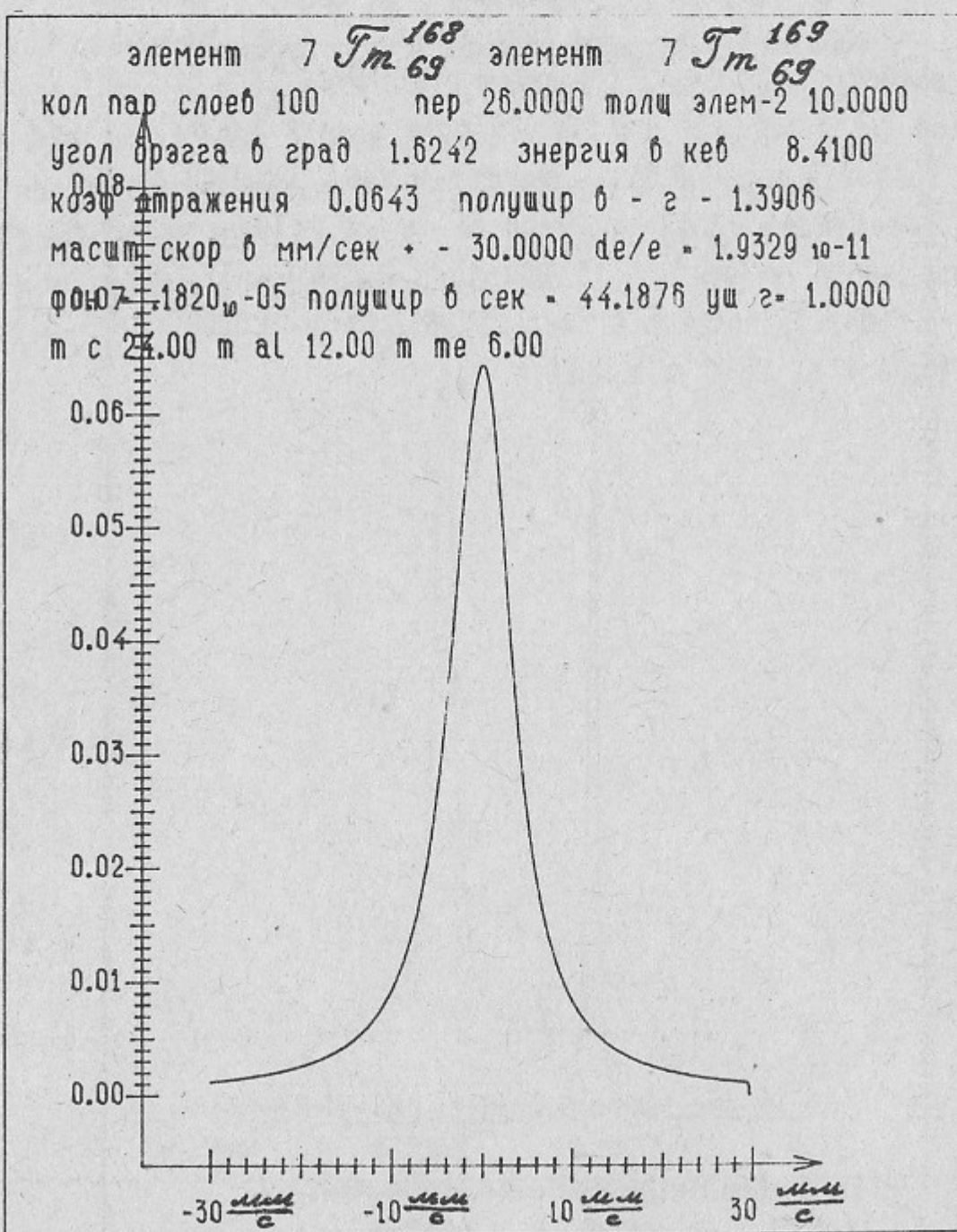


Рис. 23. Коэффициент отражения от многослойного зеркала $\text{Ti}^{168} - \text{Ti}^{169}$ ($T_{\text{Ti}^{168}} = 16 \text{ \AA}^0$, $T_{\text{Ti}^{169}} = 10 \text{ \AA}^0$, $N = 100$ пар) с антиотражающим покрытием для плоской волны гамма-квантов ζ - поляризованных, падающих под углом $\Theta_B = 1,6242^\circ$ в зависимости от энергии гамма-квантов $E_\gamma = E_{\gamma}^0 + v/c \cdot E_{\gamma}^0$, $E_{\gamma}^0 = 8,41 \text{ кэв}$. Три слоя покрытия: $T_{Te} = 6 \text{ \AA}^0$, $T_{Al} = 12 \text{ \AA}^0$, $T_C = 24 \text{ \AA}^0$.

42

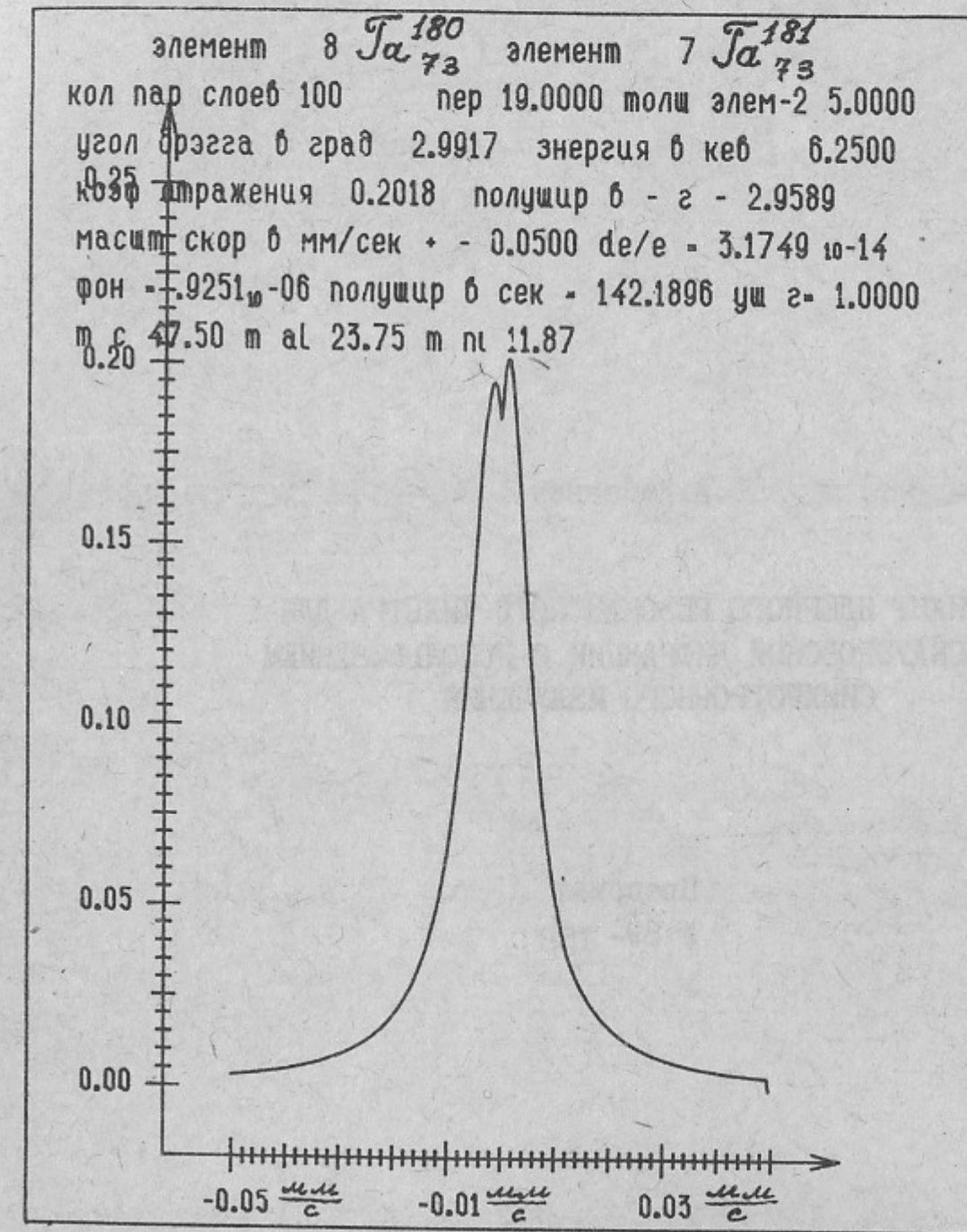


Рис. 24. Коэффициент отражения от многослойного зеркала

$\text{Ta}^{180} - \text{Ta}^{181}$ ($T_{\text{Ta}^{180}} = 14 \text{ \AA}^0$, $T_{\text{Ta}^{181}} = 5 \text{ \AA}^0$, $N = 100$ пар) с антиотражающим покрытием для плоской волны гамма-квантов ζ - поляризованных, падающих под углом $\Theta_B = 2,9917^\circ$ в зависимости от энергии гамма-квантов $E_\gamma = E_{\gamma}^0 + v/c \cdot E_{\gamma}^0$, $E_{\gamma}^0 = 6,25 \text{ кэв}$. Три слоя покрытия: $T_{Ni} = 11,87 \text{ \AA}^0$, $T_{Al} = 23.75 \text{ \AA}^0$ и $T_C = 47,5 \text{ \AA}^0$.

43

В.А.Кабанник

ВАРИАНТ ЯДЕРНОГО РЕЗОНАНСНОГО ФИЛЬТРА ДЛЯ
МЕССБАУЭРОВСКОЙ ДИФРАКЦИИ С ИСПОЛЬЗОВАНИЕМ
СИНХРОТРОННОГО ИЗЛУЧЕНИЯ

Препринт
№ 89- I58

Работа поступила - 2 октября 1989 г.

Ответственный за выпуск - С.Г.Попов
Подписано к печати 20.XI.89г. МН 02394
Формат бумаги 60x90 I/I6 Усл.2,9 печ.л., 2,4 учетно-изд.л.
Тираж 170 экз. Бесплатно. Заказ № I58.

Ротапринт ИЯФ СО АН СССР, г.Новосибирск, 90